

ԵՐԵՎԱՆԻ ՊԵՏԱԿԱՆ ՀԱՄԱԼՍԱՐԱՆ
ԱԼԻՔՏՐԻՆ ԿՐՈՑԵԱՆՆԵՐԻ տեսուժյան և ֆիզիկայի ամբիոն

Գ.Բ. ԱԼԱՎԵՐԴՅԱՆ

ՎԵԿՏՈՐԱԿԱՆ ԵՎ ՔԵՆՁՈՐԱԿԱՆ ՀԱՇՎԻ
Խ Ն Դ Ր Ա Գ Ի Ր Զ

ԵՐԵՎԱՆԻ ՀԱՄԱԼՍԱՐԱՆԻ ՀՐԱՏԱՐԱԿԶՈՒԹՅՈՒՆ

ԵՐԵՎԱՆ - 1984

Ձեռնարկում տեղ են գտել խնդիրներ և վարժություններ, Վեկտորական և թենզորական հաշիվ, առարկայի՝ համալսարանական, ներկայումս գործող, ծրագրի շրջանակներում:

Ցուրաքանչյուր բաժնի սկզբում տրվում են խնդիրների լուծման համար անհրաժեշտ հիմնական տեսական դրույթները, սահմանումներն ու բանաձևերը: Թուր խնդիրների համար բերվում են պատասխաններ, իսկ հաճախ նաև մանրամասն լուծումներ կամ լուծման վերաբերյալ գուճումներ:

Նախատեսված է ուղիոֆիզիկայի և ֆիզիկայի Ֆակուլտետների ուսանողների համար:

Алавердян Григор Бахшиевич

ЗАДАЧНИК ПО ВЕКТОРНОМУ И

ТЕНЗОРНОМУ ИСЧИСЛЕНИЮ

(На армянском языке)

Издательство Ереванского университета

Ереван - 1984

տեղի ունի վեկտորի հետևյալ ներկայացումը՝

$$\vec{a} = \sum_{k=1}^3 \alpha_k \hat{e}_k$$

«սամանավորվենք զումարման նշանը չզրբել քուրո ասն դեպքերում, երբ զումարում է կատարվում ըստ կրկնվող ինդեքսի: Այսպիսի պայմա - նավորվածության դեպքում՝

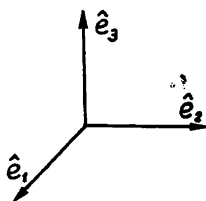
$$\vec{a} = \alpha_k \hat{e}_k \quad /1.5/$$

կորորինասական համակարգը կոչվում է օրթոգոնալ, եթե $\hat{e}_1, \hat{e}_2, \hat{e}_3$ օրթոնոր փոխադարձաբար ուղղահայաց են: Այս դեպքում՝

$$\hat{e}_i \cdot \hat{e}_k = \delta_{ik} \quad /1.6/$$

որտեղ δ_{ik} -ն, այսպես կոչված, կրոնեկերի սիմ- վոլն է, որը սահմանվում է հետևյալ կերպ.

$$\delta_{ik} = \begin{cases} 1, & \text{եթե } i=k \\ 0, & \text{եթե } i \neq k \end{cases} \quad /1.7/$$



Նկ.2

վեկտորական արտադրյալի սահմանումից հետևում է, որ $\hat{e}_1, \hat{e}_2, \hat{e}_3$ օրթոգոնալ բա- զրիսի դեպքում /Նկ.2/ տեղի ունեն

$$\begin{aligned} \hat{e}_1 \times \hat{e}_1 &= 0, & \hat{e}_1 \times \hat{e}_2 &= \hat{e}_3, & \hat{e}_1 \times \hat{e}_3 &= -\hat{e}_2, \\ \hat{e}_2 \times \hat{e}_1 &= -\hat{e}_3, & \hat{e}_2 \times \hat{e}_2 &= 0, & \hat{e}_2 \times \hat{e}_3 &= \hat{e}_1, \\ \hat{e}_3 \times \hat{e}_1 &= \hat{e}_2, & \hat{e}_3 \times \hat{e}_2 &= -\hat{e}_1, & \hat{e}_3 \times \hat{e}_3 &= 0 \end{aligned}$$

առնչությունները: Այս արտահայտությունները կարելի է գրել

$$\hat{e}_i \times \hat{e}_j = -\epsilon_{ijk} \hat{e}_k \quad /1.8/$$

տեսքով, որտեղ ϵ_{ijk} -ն Լևի-Չիվիտի սիմվոլն է, որը սահմանվում է այսպես.

$$\epsilon_{ijk} = \begin{cases} +1, & \text{եթե } i, j, k \text{ հաջորդականությունն ստացվում է} \\ & 1, 2, 3\text{-ից՝ զույգ թվով տեղափոխությունների} \\ & \text{օգնությամբ:} \\ 0, & \text{եթե առնվազն երկու ինդեքսներ իրար հավա-} \\ & \text{սար են:} \\ -1, & \text{եթե } i, j, k \text{ հաջորդականությունն ստացվում է} \\ & 1, 2, 3\text{-ից՝ կենս թվով տեղափոխությունների օգ-} \\ & \text{նությամբ:} \end{cases} \quad /1.9/$$

Օգտվելով /1.5/ և /1.6/ արտահայտություններից, սկալյար ար- տադրյալը կարելի է ներկայացնել

$$\vec{a} \cdot \vec{b} = a_i \hat{e}_i b_k \hat{e}_k = a_i b_k \delta_{ik} = a_k b_k \quad /1.10/$$

տեսքով:

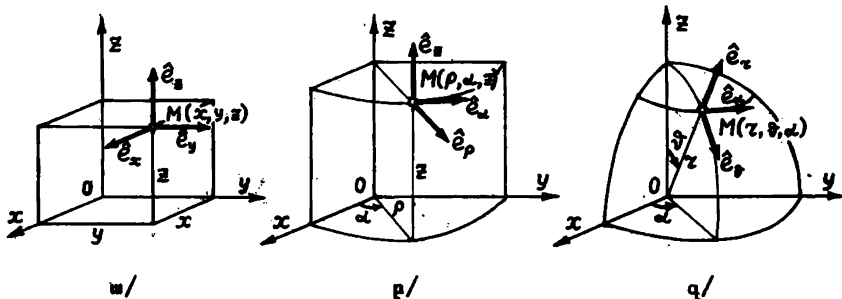
Վեկտորական արտադրյալի բաղադրիչներն արտահայտվում են բազմ-
պատկիչ վեկտորների բաղադրիչներով

$$(\vec{a} \times \vec{b})_i = \varepsilon_{ijk} a_j b_k \quad /1.11/$$

առնչության օգնությամբ: Վեկտորական արտադրյալի համար համախ հարմար
է լինում օգտագործել հետևյալ համարժեք արտահայտությունը՝

$$\vec{a} \times \vec{b} = \det \begin{pmatrix} \hat{e}_1 & \hat{e}_2 & \hat{e}_3 \\ a_1 & a_2 & a_3 \\ b_1 & b_2 & b_3 \end{pmatrix} \quad /1.12/$$

Դեկարտյան կոորդինատական համակարգում կետի դիրքը արվում է
 \hat{e}_x , \hat{e}_y , \hat{e}_z փոխուղղահայաց դեկարտյան բազիսային օրթերի ուղ-
ղունթյունների վրա \vec{r} շտապիղ վեկտորի x , y , z պոռյեկցիաների
օգնությամբ /Նկ. 3. ա/:



Նկ. 3.

Երկարության և ծավալի տարրերը այս համակարգում ունեն
հետևյալ տեսքը.

$$d\ell^2 = dx^2 + dy^2 + dz^2, \quad dV = dx dy dz \quad /1.13/$$

Գլանային կոորդինատական համակարգում կետի դիրքը սովորում է xOy հարթության վրա շառավիղ վեկտորի ρ պոլյեկցիայի, α անկյան և Oz առանցքի վրա շառավիղ վեկտորի Z պոլյեկցիայի միջոցով: Այս կոորդինատական համակարգն ունի օրթոգոնալ \hat{e}_ρ , \hat{e}_α , \hat{e}_z բազիս, ինչպես այդ պատկերված է Յբ նկարում: Երկարություն և ծավալի տարրերի համար այս դեպքում ունենք՝

$$d\ell^2 = d\rho^2 + \rho^2 d\alpha^2 + dz^2, \quad dV = \rho d\rho d\alpha dz \quad /1.14/$$

Ինկարտյան և գլանային կոորդինատները միմյանց հետ կապված են

$$\begin{aligned} x &= \rho \cos \alpha \\ y &= \rho \sin \alpha \\ z &= z \end{aligned} \quad /1.15/$$

առնչությունների միջոցով:

Գնդային կոորդինատական համակարգում կետի դիրքը սովորում է τ , ϑ , α երեք կոորդինատների օգնությամբ, ինչպես այդ ցույց է տրված Յգ նկարում: Նկարում միաժամանակ պատկերված է համապատասխան \hat{e}_τ , \hat{e}_ϑ , \hat{e}_α օրթոգոնալ բազիսը: Գնդային համակարգում երկարություն և ծավալի տարրերի համար իրավացի են

$$d\ell^2 = d\tau^2 + \tau^2 d\vartheta^2 + \tau^2 \sin^2 \vartheta d\alpha^2, \quad dV = \tau^2 \sin \vartheta d\tau d\vartheta d\alpha \quad /1.16/$$

առնչությունները: Ինկարտյան կոորդինատների հետ գնդային կոորդինատների կապն ունի հետևյալ տեսքը.

$$\begin{aligned} x &= \tau \sin \vartheta \cos \alpha \\ y &= \tau \sin \vartheta \sin \alpha \\ z &= \tau \cos \vartheta \end{aligned} \quad /1.17/$$

Կոորդինատական համակարգի պտույտների ժամանակ կետի հին և նոր դեկարտյան կոորդինատների կապը կարելի է ներկայացնել

$$\mathcal{X}'_i = \alpha_{iK} \mathcal{X}_K \quad /1.18/$$

տեսքով, որտեղ $\alpha_{iK} = \hat{e}'_i \cdot \hat{e}_K$ գործակիցներն արտահայտվում են հին և նոր կոորդինատների փոխադարձ կողմնորոշումը ընտրված անկյուններով:

α_{iK} գործակիցների

$$\hat{\alpha} = \begin{pmatrix} \alpha_{11} & \alpha_{12} & \alpha_{13} \\ \alpha_{21} & \alpha_{22} & \alpha_{23} \\ \alpha_{31} & \alpha_{32} & \alpha_{33} \end{pmatrix} \quad /1.19/$$

համախումբն անվանում են ձևափոխության մատրից:

Մատրիցը կոչվում է անկյունազծային, եթե զրոյից տարբեր են նրա միայն անկյունազծային տարրերը, այսինքն

$$\hat{\alpha} = \begin{pmatrix} \lambda_1 & 0 & 0 \\ 0 & \lambda_2 & 0 \\ 0 & 0 & \lambda_3 \end{pmatrix} \quad \text{կամ} \quad \alpha_{ik} = \lambda_k \delta_{ik} : /1.20/$$

/Այստեղ ըստ K կրկնվող ինդեքսի գումարում չկա/:

Միավոր կոչվում է այն անկյունազծային մատրիցը, որի բոլոր անկյունազծային տարրերը հավասար են 1-ի:

$$\hat{1} = \begin{pmatrix} 1 & 0 & 0 \\ 0 & 1 & 0 \\ 0 & 0 & 1 \end{pmatrix}, \quad \text{կամ} \quad \hat{1}_{ik} = \delta_{ik} \quad /1.21/$$

$\hat{\alpha}^{-1}$ մատրիցը, որը բավարարում է

$$\hat{\alpha} \hat{\alpha}^{-1} = \hat{\alpha}^{-1} \hat{\alpha} = \hat{1} \quad /1.22/$$

պայմանին, կոչվում է $\hat{\alpha}$ մատրիցի հակադարձ մատրից: Այն նկատարվում է հակադարձ ձևափոխությունը, այսինքն, եթե $x'_i = \alpha_{ik} x_k$ ապա $x_k = \alpha^{-1}_{ki} x'_i$:

$\tilde{\alpha}$ մատրիցը, որն ստացվում է $\hat{\alpha}$ -ից բոլոր տողերը համապատասխան սյուներով փոխարինելու ճանապարհով, կոչվում է տրանսպոնանցված մատրից.

$$\tilde{\alpha} = \begin{pmatrix} \alpha_{11} & \alpha_{21} & \alpha_{31} \\ \alpha_{12} & \alpha_{22} & \alpha_{32} \\ \alpha_{13} & \alpha_{23} & \alpha_{33} \end{pmatrix}, \quad \text{կամ} \quad \tilde{\alpha}_{ik} = \alpha_{ki} \quad /1.23/$$

Եթե մատրիցի տարրերը բավարարում են

$$\alpha_{ik} \alpha_{im} = \delta_{km} \quad /1.24/$$

պայմաններին, ապա այն կոչվում է օրթոգոնալ, իսկ նրան համապատասխանող ձևափոխությունը՝ օրթոգոնալ ձևափոխություն:

$\hat{\alpha}$ մատրիցի դետերմինանտը սահմանվում է հետևյալ կերպ.

$$\det(\alpha) = \epsilon_{ijk} \alpha_{1i} \alpha_{2j} \alpha_{3k} \quad /1.25/$$

որտեղ ϵ_{ijk} -ն Լեի-2իմիտի /1.9/ սիմվոլն է:

Տված դետերմինանտի α_{ij} տարրին համապատասխանող Δ_{ij} միևնույն կոչվում է այն նոր դետերմինանտը, որն ստացվում է հից՝ i - ող

տողը է j - րդ սյունը շնչելու նախադրով:

$$A_{ij} = (-1)^{i+j} \Delta_{ij} \quad /1.26/$$

Մեծությունը կոչվում է α_{ij} ասորին համապատասխանող հանրահաշվական լրացում: Այն կարելի է սահմանել նաև հետևյալ կերպ.

$$A_{ij} = \frac{\partial}{\partial \alpha_{ij}} \det(\hat{\alpha}) \quad /1.27/$$

Դետերմինանտի և համապատասխան հանրահաշվական լրացման համար սեղի ունեն

$$A_{ij} \alpha_{kj} = \delta_{ik}, \quad /1.28/$$

$$A_{ij} \alpha_{im} = \delta_{jm}$$

առնչությունները:

1. Ապացուցել Լագրանժի նույնությունը՝

$$(\vec{a} \times \vec{b}) \cdot (\vec{c} \times \vec{d}) = \det \begin{pmatrix} \vec{a} \cdot \vec{c} & \vec{a} \cdot \vec{d} \\ \vec{b} \cdot \vec{c} & \vec{b} \cdot \vec{d} \end{pmatrix}$$

2. Օգտվելով Լագրանժի նույնությունից /սես խնդիր 1-ը/, գտնել $(\vec{a} \times \vec{b})^2$ և ստացված բանաձևը գրել կոորդինատական տեսքով:

3. Ապացուցել հետևյալ նույնությունները.

$$\begin{aligned} \text{ա/ } (\vec{a} \times \vec{b}) \times (\vec{c} \times \vec{d}) &= [\vec{a} \cdot (\vec{b} \times \vec{d})] \vec{c} - [\vec{a} \cdot (\vec{b} \times \vec{c})] \vec{d} = \\ &= [\vec{a} \cdot (\vec{c} \times \vec{d})] \vec{b} - [\vec{b} \cdot (\vec{c} \times \vec{d})] \vec{a}, \end{aligned}$$

$$\text{բ/ } \vec{a} \times (\vec{b} \times \vec{c}) + \vec{b} \times (\vec{c} \times \vec{a}) + \vec{c} \times (\vec{a} \times \vec{b}) = 0,$$

$$\text{գ/ } (\vec{a} \times \vec{b}) \cdot (\vec{c} \times \vec{d}) + (\vec{b} \times \vec{c}) \cdot (\vec{a} \times \vec{d}) + (\vec{c} \times \vec{a}) \cdot (\vec{b} \times \vec{d}) = 0:$$

4. Դիցուք \vec{a} -ն և \vec{b} -ն երկու վեկտորներ են, որոնք որոշում են $\vec{a} + \vec{b}$ և $\vec{a} - \vec{b}$ անկյունագծերով զուգահեռագիծ: Ցույց ասել, որ.

ա/ անկյունագծերի քառակուսիների գումարը հավասար է կողմերի քառակուսիների գումարին,

բ/ զուգահեռագծի անկյունագծերը փոխոլողափայց են այն և

միայն այն դեպքում, երբ այդ զուգահեռագիծը հավասարակողմ է,

զ/ անկյունագծերի վրա կառուցված զուգահեռագծի մակերեսը երկու անգամ մեծ է նախնական զուգահեռագծի մակերեսից:

5. \hat{n} և \hat{n}' երկու ուղղութիւնները սփերիկ կոորդինատական համակարգում որոշվում են ϑ , α և ϑ' , α' անկյուններով: Գտնել այդ ուղղութիւններով կազմված անկյան կոսինուսը:

6. Որոշ դեպքերում հարմար է լինում վեկտորի a_x , a_y , a_z դեկարտյան կոորդինատների փոխարեն քննարկել նրա ցիկլիկ բաղադրիչները, որոնք սահմանվում են

$$a_{\pm} = \mp \frac{1}{\sqrt{2}} (a_x \pm i a_y), \quad a_0 = a_z$$

բանաձևերով: Երկու վեկտորների սկալյար և վեկտորական արտադրյալները արտահայտել նրանց ցիկլիկ բաղադրիչներով:

7. Կազմել բազիսային օրթերի ձևափոխութայն մատրիցը՝

ա/ դեկարտյան կոորդինատներից գնդայինին անցնելու դեպքում և հակառակը,

բ/ դեկարտյան կոորդինատներից գլանայինին անցնելու դեպքում և հակառակը:

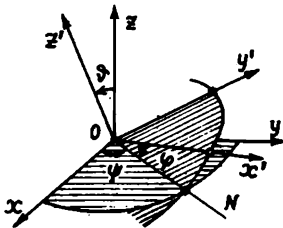
8. Գտնել վեկտորի բաղադրիչների ձևափոխութայն մատրիցը՝

ա/ կոորդինատական երեք առանցքների արտացոլման դեպքում,

բ/ Z առանցքի շուրջը դեկարտյան կոորդինատական համակարգը α անկյունով պտտելու դեպքում:

9. Գտնել վեկտորի բաղադրիչների ձևափոխութայն մատրիցը էյլերի ψ , ϑ , φ անկյուններով որոշվող պտույտի դեպքում

/նկ.4/, պտտերացնելով այն որպես Z առանցքի շուրջը ψ անկյունով և Z' առանցքի շուրջը ϑ անկյունով և Z'' առանցքի շուրջը φ անկյունով հաջորդական պտույտներին համապատասխանող երեք մատրիցների արտադրյալ:



նկ. 4.

10. Եռւյց տն³, որ կոորդինատական համակարգի անվերջ փոքր պտույտի մատրիցը կարող է ներկայացվել $\hat{\alpha} = \hat{i} + \hat{\epsilon}$ տեսքով, որտեղ $\hat{\epsilon}$ -ը հակահամաչափ մատրից է: Պարզել ϵ_{ik} -ի երկրաչափական իմաստը:
11. Ապացուցել, որ կոորդինատական համակարգի պտույտների կամ գույզ թվով կոորդինատական առանցքների արտացոլումների դեպքում ձևափոխության մատրիցի դետերմինանտը հավասար է 1-ի, իսկ կենտ թվով կոորդինատական առանցքների արտացոլումների դեպքում այն հավասար է -1-ի:
12. Ապացուցել, որ

$$M_1 = \begin{pmatrix} 2/3 & 2/3 & -1/3 \\ 2/3 & -1/3 & 2/3 \\ -1/3 & 2/3 & 2/3 \end{pmatrix} \quad \text{և} \quad M_2 = \begin{pmatrix} 1/2 & 1/2 & \sqrt{2}/2 \\ 1/2 & 1/2 & -\sqrt{2}/2 \\ \sqrt{2}/2 & -\sqrt{2}/2 & 0 \end{pmatrix}$$

մատրիցներն օրթոգոնալ են:

13. Ապացուցել, որ Լորենցի ձևափոխության

$$\Lambda = \begin{pmatrix} \gamma & 0 & 0 & i\beta\gamma \\ 0 & 1 & 0 & 0 \\ 0 & 0 & 1 & 0 \\ -i\beta\gamma & 0 & 0 & \gamma \end{pmatrix}$$

մատրիցը /տես /1.42/ և /1.44/ բանաձևերը/, որտեղ $\gamma = (1 - \beta^2)^{-1/2}$, բավարարում է օրթոգոնալության պայմանին:

14. Ապացուցել, որ եթե $\hat{\alpha}$ -ն օրթոգոնալ ձևափոխության մատրից է, ապա նրա արանսպոնցված $\hat{\alpha}^{-1}$ մատրիցը համընկնում է հակադարձ ձևափոխության $\hat{\alpha}^{-1}$ մատրիցի հետ:
15. $\vec{\alpha}$ և $\vec{\beta}$ վեկտորների սկալյար արտադրյալը գրել Կրոնեկերի δ_{ik} սիմվոլի օգնությամբ:
16. Գրել $\vec{\alpha}$ և $\vec{\beta}$ վեկտորների վեկտորական արտադրյալի բաղադրիչները, օգտագործելով Լևի-Չիվիտի ϵ_{ijk} սիմվոլը:
17. Ապացուցել, որ $\hat{\alpha}$ մատրիցի դետերմինանտի ($\det \hat{\alpha}$) և a_{ij} սարրի հանրահաշվական լրացման (A_{ij}) համար տեղի ունենն Կետեյալ առնչությունները:

$$w/ \det \hat{a} = 1/3 \varepsilon_{ijk} \varepsilon_{pqz} a_{ip} a_{jq} a_{kz}$$

$$p/ A_{ij} = 1/2 \varepsilon_{ikl} \varepsilon_{jpr} a_{kr} a_{lp}$$

18. $[\vec{a}(\vec{b} \times \vec{c})][\vec{a}'(\vec{b}' \times \vec{c}')] =$ արտադրյալը բերել միայն վեկտորների սկալյար արտադրյալների պարունակող անդամների գումարի տեսքի:

19. Յուլյց տալ, որ եթե $\frac{d^2 \vec{z}}{dt^2} = \vec{z} f(z)$, ապա

$$\vec{z} \times \frac{d\vec{z}}{dt} = \vec{\ell} = \text{const}:$$

20. Յուլյց տալ, որ եթե նյութական կետի վրա ազդող ուժը միշտ ուղղված է հետագծի շոշափողով, ապա կետի հետագիծը ուղիղ գիծ է:

21. Յուլյց տալ, որ նյութանյան ձգողության ուժի ազդեցությամբ շարժվող նյութական կետի հետագիծը կոնական հատույթ է /էլիպս, հիպերբոլ, պարաբոլ/:

§ 2. Թեքնոլիի հասկացութային և նրա բաղադրիչների ձևափոխության օրենքը

Եռաչափ տարածության մեջ $T_{i_1 i_2 \dots i_r} (i_1, i_2, \dots, i_r = 1, 2, 3)$ 3^r մեծությունների համախումբը կոչվում է r -րդ կարգի թեքնոլ, եթե կոորդինատների համակարգի $x'_i = \alpha_{ik} x_k$ օրենքով նկարագրվող պտույտի դեպքում այդ մեծությունները ձևափոխվում են

$$T'_{i_1 i_2 \dots i_r} = \alpha_{i_1 k_1} \alpha_{i_2 k_2} \dots \alpha_{i_r k_r} T_{k_1 k_2 \dots k_r} \quad /1.29/$$

օրենքով:

Ելնելով այս ընդհանուր սահմանումից կարելի է տալ սկալյար և վեկտորական մեծությունների սահմանումները: Ջրո կարգի թեքնոլ, կամ ուղղակի սկալյար, կոչվում է այն մեծությունը, որը կոորդինատական համակարգի պտույտների ժամանակ չի փոխում իր արժեքը:

Առաջին կարգի թեքնոլ, կամ ուղղակի վեկտոր, եռաչափ տարածության մեջ կոչվում է (A_1, A_2, A_3) մեծությունների համախումբը, որը կոորդինատական համակարգի $x'_i = \alpha_{ik} x_k$ օրենքով նկարագրվող պտույտի դեպքում ձևափոխվում է

$$A'_i = \alpha_{ik} A_k \quad /1.30/$$

օրենքով:

Մեծ ությունները, որոնք կոորդինատական համակարգի պտույտների ժամանակ ձևափոխվում են որպես թենզորներ, կոորդինատական համակարգի արտացոլման ժամանակ ($\mathcal{X}'_i = -\mathcal{X}_i$) կարող են ձևափոխվել երկու ձևով. $T_{i_1 i_2 \dots i_r}$ թենզորը կոչվում է պարզապես թենզոր, եթե կոորդինատական համակարգի $\mathcal{X}'_i = -\mathcal{X}_i$ արտացոլման դեպքում այն ձևափոխվում է

$$T'_{i_1 i_2 \dots i_r} = (-1)^r T_{i_1 i_2 \dots i_r} \quad /1.31/$$

օրենքով, և կոչվում է փակդոթենզոր, եթե արտացոլման ժամանակ տեղի ունի

$$T'_{i_1 i_2 \dots i_r} = (-1)^{r+1} T_{i_1 i_2 \dots i_r} \quad /1.32/$$

տնդ ությունը:

Ակալյարները, որոնք կոորդինատական համակարգի արտացոլման ժամանակ չեն փոխվում, կոչվում են իրական սկալյարներ կամ պարզապես սկալյարներ: Ակալյարները, որոնք կոորդինատական համակարգի արտացոլման ժամանակ փոխվում են իրենց նշանը, կոչվում են փակդոթսկալյարներ:

Վեկտորները, որոնք բաղադրիչները կոորդինատական համակարգի արտացոլման ժամանակ փոխվում են իրենց նշանը, կոչվում են բևեռային վեկտորներ կամ, պարզապես, վեկտորներ: Վեկտորները, որոնք բաղադրիչները կոորդինատական համակարգի արտացոլման ժամանակ մնում են անփոփոխ, կոչվում են փակդոթվեկտորներ կամ քսիալ վեկտորներ:

Երկրորդ կարգի S_{ik} թենզորը կոչվում է համաչափ, եթե $S_{ik} = S_{ki}$: Երկրորդ կարգի A_{ik} թենզորը կոչվում է հակահամաչափ, եթե $A_{ik} = -A_{ki}$: Երկրորդ կարգի կամայական թենզոր կարելի է ներկայացնել համաչափ և հակահամաչափ երկու թենզորների գումարի տեսքով.

$$T_{ik} = S_{ik} + A_{ik} \quad /1.33/$$

որտեղ $S_{ik} = 1/2 (T_{ik} + T_{ki})$, $A_{ik} = 1/2 (T_{ik} - T_{ki})$

\vec{A} Եթե երկրորդ կարգի T_{ik} թենզորի համար գոյություն ունեն վեկտորներ, որոնք բավարարում են

$$T_{ik} A_k = \lambda A_i \quad /1.34/$$

հավասարումների համակարգին, ապա այդ վեկտորներով որոշվող ուղղութիւնները կոչվում են T_{ik} թենզորի գլխավոր /սեփական/ ուղղութիւններ, իսկ նրանց համապատասխանող առանցքները՝ գլխավոր առանցքներ: Հավասարումների /1.34/ համակարգը ոչ զրոյական լուծում կունենա λ -ի այնպիսի արժեքների համար, որոնք բավարարում են

$$\det(T_{ik} - \lambda \delta_{ik}) = 0 \quad /1.35/$$

ընութագրական հավասարմանը: Այս հավասարումը ընդհանուր դեպքում ունի $\lambda_1, \lambda_2, \lambda_3$ արմատներ, որոնք T_{ik} թենզորի անկյունագծային տարրերն են գլխավոր առանցքների կոորդինատական համակարգում և կոչվում են T_{ik} թենզորի գլխավոր /սեփական/ արժեքներ: Հավասարումների /1.34/ համակարգը յուրաքանչյուր λ_{μ} գլխավոր արժեքի համապատասխանութիւն մեջ է դնում $\vec{A}^{(\mu)}$ վեկտոր, որով տարածութեան մեջ որոշվում է μ -րդ գլխավոր առանցքի ուղղութիւնը:

Երկրորդ կարգի յուրաքանչյուր S_{ik} համաչափ թենզորի համապատասխանում է

$$S_{ik} x_i x_k = 1 \quad /1.36/$$

հավասարումով որոշվող երկրորդ կարգի մակերևույթ, որը կոչվում է թենզորի ընութագրական մակերևույթ:

Կախված S_{ik} թենզորի $\lambda_1, \lambda_2, \lambda_3$ գլխավոր արժեքներից /1.36/ մակերևույթը կունենա տարբեր տեսքեր: Եթե բոլոր գլխավոր արժեքներն էլ դրական են, ապա ընութագրական մակերևույթը իրենից կներկայացնի $1/\sqrt{\lambda_1}, 1/\sqrt{\lambda_2}, 1/\sqrt{\lambda_3}$ գլխավոր կիսաառանցքներով էլիպսոիդ: Եթե λ_i թվերից երկուսը դրական են, իսկ մեկը՝ բացասական, ապա ընութագրական մակերևույթը կլինի միախոռոչ հիպերբոլոիդ: Եթե λ_i թվերից մեկը դրական է, իսկ երկուսը բացասական, ապա ընութագրական մակերևույթն իրենից կներկայացնի երկխոռոչ հիպերբոլոիդ: Եվ, վերջապես, եթե բոլոր երեք գլխավոր արժեքներն էլ բացասական են, ապա ընութագրական մակերևույթը կլինի կեղծ էլիպսոիդ: Եթե զրոյական գլխավոր արժեքներից որևէ երկուսն ունեն նույն արժեքը, ապա ընութագրական մակերևույթն իրենից կներկայացնի պտտման մակերևույթ: Եթե $\lambda_1 = \lambda_2 = \lambda_3$, ապա ընութագրական մակերևույթը զնդուրոտ է: Թենզորը, որի համար $\lambda_1 = \lambda_2 = \lambda_3$, կոչվում է զնդային:

Փիզիկայում հանդիպող երկրորդ կարգի թենզորները ունեն դրական գլխավոր արժեքներ և, հետևաբար, նրանց ընութագրական մակերե-

վույթները թենզորական էլիպսոիդներ են:

Նյութական կետերի համակարգի իներցիայի մոմենտների թենզոր անվանում են

$$I_{ik} = \sum m^{(l)} (\delta_{ik} z^{(l)2} - x_i^{(l)} x_k^{(l)}) \quad /1.37/$$

արտահայտությամբ որոշվող մեծություններ:

Երկրորդ կարգի T_{ik} յուրաքանչյուր թենզոր ունի երեք ինվարիանտներ

$$I_1 = T_{11} + T_{22} + T_{33} = in\nu,$$

$$I_2 = \begin{vmatrix} T_{11} & T_{12} \\ T_{21} & T_{22} \end{vmatrix} + \begin{vmatrix} T_{11} & T_{13} \\ T_{31} & T_{33} \end{vmatrix} + \begin{vmatrix} T_{22} & T_{23} \\ T_{32} & T_{33} \end{vmatrix} = in\nu, \quad /1.38/$$

$$I_3 = \det \hat{T} = in\nu,$$

որոնք համապատասխանաբար կոչվում են գծային, քառակուսային և երրորդ կարգի ինվարիանտներ և արտահայտվում են թենզորի $\lambda_1, \lambda_2, \lambda_3$ գլխավոր արժեքներով հետևյալ կերպ.

$$I_1 = \lambda_1 + \lambda_2 + \lambda_3$$

$$I_2 = \lambda_1 \lambda_2 + \lambda_1 \lambda_3 + \lambda_2 \lambda_3 \quad /1.39/$$

$$I_3 = \lambda_1 \lambda_2 \lambda_3$$

Գծային ինվարիանտը, որ իրենից ներկայացնում է թենզորի անկյունագծային տարրերի գումարը, հասան անվանվում է նաև թենզորի հետք կամ շարժը և նշանակվում $I_1 = T_{ii} = \text{Sp}(\hat{T})$ սիմվոլով:

Որոշ դեպքերում I_2 ինվարիանտի փոխարեն օգտագործվում է

$$I_2' = I_1^2 - 2 I_2 = T_{ik} T_{ik} \quad /1.40/$$

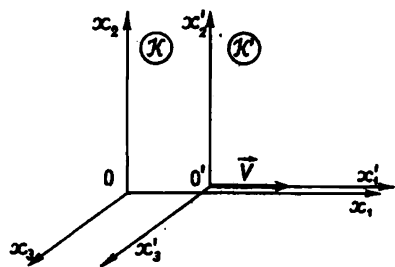
ինվարիանտը:

Թենզորները, որոնց գծային ինվարիանտը զրո է, կոչվում են դեվիատորներ:

Ք ա ո ա չ ա փ թ ե ն գ ո Ր ն ե Ր ֆիզիկայի շատ օրենքների մաթեմատիկական նկարագրության համար անհրաժեշտ է լինում գործ ունենալ քառաչափ թեքագրների հետ: Բունն այն է, որ Ֆիզիկական պատահարի լրիվ բնութագրության համար այդ պատահարի տարածական կոորդինատների հետ միասին անհրաժեշտ է նշել նաև ժամանակի այն պահը, երբ տեղի է ունեցել այդ պատահարը: Այդ պատճառով ֆիզիկական պատահարը բնութագրվում է x, y, z երեք տարածական կոորդինատներով և է ժամանակով: Եռաչափ տարածության նմանությամբ կարելի է ասել, որ x, y, z, t չորս մեծությունների համախումբը բնութագրում է կեռ քառաչափ տարածա-ժամանակային աշխարհում:

Քառաչափ տարածա-ժամանակային աշխարհում կոորդինատական մեկ համակարգից մյուսին անցնելը իրականացվում է Լորենցի ձևափոխությունների միջոցով: Որպեսզի այդ ձևափոխություններն ունենան /1.18/ -ի նման տեսք, հարմար է որպես ժամանակը բնութագրող չորրորդ կոորդինատ օգտագործել ict կեղծ կոորդինատը, այնպես որ

$$\begin{aligned} x_1 &= x, & x_2 &= y, \\ x_3 &= z, & x_4 &= ict \end{aligned} \quad /1.41/$$



Դիցուք K' համակարգի x_4' առանցքը համընկնում է K համակարգի x_1 առանցքի հետ, իսկ x_2' և x_3' առանցքները զուգահեռ են համապատասխանաբար x_2 և x_3 առանցքներին և ժամանակի սկզբնական պահին կոորդինատական համակարգերի O և O' սկզբնակետերը

Նկ. 5.

համընկել են իրար /Նկ.5/: Եթե K' համակարգը K -ի նկատմամբ շարժվում է x_1 առանցքով ուղղված \vec{V} արագությամբ, ապա Լորենցի ձևափոխություններն ունեն հետևյալ տեսքը.

$$\begin{aligned} x_1' &= \delta(x_1 + i\beta x_4), & x_2' &= x_2, \\ x_3' &= x_3, & x_4' &= \delta(x_4 - i\beta x_1), \end{aligned} \quad /1.42/$$

որտեղ $\beta = V/c$, իսկ $\gamma = 1/\sqrt{1-\beta^2}$:

Եթե պայմանավորվենք Գուենական տառերով (μ, ν, σ, ρ) նշանակել այն ինդեքսները, որոնք ընդունում են 1, 2, 3, 4 արժեքներ, ապա /1.42/ ձևափոխությունները կքերվեն

$$x'_\mu = \Lambda_{\mu\nu} x_\nu \quad /1.43/$$

տեսքի, որտեղ

$$\hat{\Lambda} = \begin{pmatrix} \gamma & 0 & 0 & i\beta\gamma \\ 0 & 1 & 0 & 0 \\ 0 & 0 & 1 & 0 \\ -i\beta\gamma & 0 & 0 & \gamma \end{pmatrix} \quad /1.44/$$

մեծությունը Լորենցի ձևափոխություններին համապատասխանող մատրիցն է:

A_μ ($\mu = 1, 2, 3, 4$) մեծությունների համախումբը կոչվում է քառաչափ վեկտոր, եթե կոորդինատների /1.43/ զծային ձևափոխության դեպքում նրա բաղադրիչները ձևափոխվում են

$$A_\mu = \Lambda_{\mu\nu} A_\nu \quad /1.45/$$

օրենքով:

Նման ձևով, $T_{\mu\nu}$ 16 մեծությունների համախումբը կոչվում է երկրորդ կարգի քառաչափ թենզոր, եթե կոորդինատների /1.43/ ձևափոխությունների դեպքում նրա բաղադրիչները ձևափոխվում են

$$T_{\mu\nu} = \Lambda_{\mu\sigma} \Lambda_{\nu\rho} T_{\sigma\rho} \quad /1.46/$$

օրենքով:

Գալիլեյի ձևափոխություններն ունեն

$$\begin{aligned} x' &= x - Vt & y' &= y, \\ z' &= z & t' &= t \end{aligned} \quad /1.47/$$

տեսքը և ստացվում են Լորենցի ձևափոխություններից $V \ll c$ դեպքում:

22. Բոլոր դեկարտյան կոորդինատական համակարգերում տրված է α_i ($i = 1, 2, 3$) երեք մեծությունների համախումբ և հայտնի է, որ պտույտների և արտացոլումների նկատմամբ $\alpha_i \beta_i = i n v$: Ապացուցել, որ եթե β_i -ն վեկտոր /փսևդովեկտոր/ է, ապա α_i -ն նույնպես վեկտոր /փսևդովեկտոր/ է:

23. Ապացուցել, որ եթե T_{ik} -ն երկրորդ կարգի թենզոր է, իսկ β_k -ն վեկտոր, և յուրաքանչյուր կոորդինատական համակարգում $\alpha_i = T_{ik} \beta_k$, ապա α_i -ն նույնպես վեկտոր է:
24. Ապացուցել, որ $\partial \alpha_i / \partial x_k$ -ն կրկրորդ կարգի թենզոր է:
25. Ապացուցել, որ $\Delta \varphi / \Delta x_\mu$ ($\mu = 1, 2, 3, 4$) շրջա մեծությունների համախումբը քառաչափ վեկտոր է:
26. Ապացուցել, որ եթե T_{ik} -ն երկրորդ կարգի թենզոր է, իսկ P_{ik} -ն՝ երկրորդ կարգի փակղոթենզոր, ապա $T_{ik} P_{ik}$ -ն փակղոթ սկալյար է:
27. Ապացուցել, որ թենզորական տեսքով գրված հավասարումներն ինվարիանտ են, այսինքն, եթե որևէ \mathcal{K} կոորդինատական համակարգում սեղի ունի $T_{i_1 i_2 \dots i_r} = 0$ թենզորական հավասարումը, ապա \mathcal{K}' համակարգում սեղի ունի $T'_{i_1 i_2 \dots i_r} = 0$ հավասարումը:
28. Յուլյց տալ, որ թենզորի համաչափությունը ինվարիանտ հասկոթյուն է պտույանների ձևափոխության նկատմամբ, այսինքն որևէ կոորդինատական համակարգում համաչափ / հակահամաչափ / թենզորը մնում է համաչափ / հակահամաչափ / նաև մյուս ցուր համակարգերում, որոնք պտտված են սկզբնականի նկատմամբ:
29. Յուլյց տալ, որ եթե S_{ik} -ն համաչափ թենզոր է, իսկ A_{ik} -ն հակահամաչափ, ապա $A_{ik} S_{ik} = 0$:
30. Ելնելով երկրորդ կարգի թենզորի $S_{ik} x_i x_k = 1$ բնութագրական մակերևույթից, տալ թենզորի I_1, I_2, I_3 ինվարիանտների երկրաչափական մեկնաբանությունը:
31. Գտնել երկրորդ կարգի հեռայլ թենզորների բնութագրական մակերևույթները.

$$\text{ա/ } a_{ij} = \lambda \delta_{ij}, \quad (\lambda > 0),$$

$$\text{բ/ } a_{ij} = 1/2 (a_i \beta_j + a_j \beta_i)$$

32. Ապացուցել, որ երկրորդ կարգի թենզորի անյուրևագծային բաղադրիչների գումարը ինվարիանտ մեծություն է:
33. Գտնել հեռայլ թենզորների գլխավոր առանցքները և գլխավոր արժեքները.

$$\text{ա/ } \begin{pmatrix} 1 & 0 & 0 \\ 0 & 2 & 3 \\ 0 & 3 & 4 \end{pmatrix}$$

$$\text{բ/ } \begin{pmatrix} 1 & 2 & 0 \\ 2 & 2 & 0 \\ 0 & 0 & 3 \end{pmatrix}$$

$$\text{գ/ } \begin{pmatrix} 0 & 0 & 1 \\ 0 & 2 & 1 \\ 1 & 1 & 1 \end{pmatrix}$$

34. Յույց տալ, որ նյութական կետերի համակարգի համաչափության առանցքը հանդիսանում է ինտեգրիայի մոմենտների թենզորի գլխավոր առանցք:
35. Գտնել T_{ik} թենզորի հակադարձ T_{ik}^{-1} թենզորի բաղադրիչները: Մասնավորապես ընտրել այն դեպքը, երբ T_{ik} -ն գլխավոր առանցքների բերված համաչափ թենզոր է:
36. Իիցուք բոլոր կոորդինատական համակարգերում \vec{a} վեկտորի բաղադրիչները զծայնորեն արտահայտվում են \vec{b} վեկտորի բաղադրիչներով՝ $a_i = \varepsilon_{ik} b_k$: Ապացուցել, որ ε_{ik} մեծությունների համախումբը երկրորդ կարգի թենզոր է, եթե \vec{a} -ն և \vec{b} -ն երկուսն էլ բևեռային վեկտորներ կամ փսևդովեկտորներ են, և փսևդոթենզոր է, եթե վեկտորներից մեկը փսևդովեկտոր է, իսկ մյուսը՝ բևեռային վեկտոր:
37. Ապացուցել, որ A_{ikl} և B_{ik} թենզորների $A_{ikl} B_{lk}$ փաթույթը վեկտոր է:
38. Յույց տալ, որ $V = \iiint dx_1 dx_2 dx_3$ մեծությունը կոորդինատների համակարգի ձևափոխության ժամանակ իրեն պահում է ինչպես զրո կարգի փսևդոթենզոր, այսինքն՝ փսևդոսկալյար:
39. Գտնել $T_{ik} = \int x_i x_k dV$ ծավալային ինտեգրալների համախմբի ձևափոխության օրենքը արտածական պտույտների և արտացոլումների դեպքում / x_i -ն և x_k -ն դեկարտյան կոորդինատներն են/:
40. Յույց տալ, որ քառաչափ ծավալի $dx_1 dx_2 dx_3 dx_4$ տարրը ինվարիանտ է Լորենցի ձևափոխությունների նկատմամբ:
41. Ապացուցել, որ $ds^2 = dx^2 + dy^2 + dz^2 - c^2 dt^2$ մեծությունն ինվարիանտ է Լորենցի ձևափոխությունների նկատմամբ:
42. Յույց տալ, որ երկրորդ կարգի T_{ij} թենզորն այն և միայն այն դեպքում է երկու վեկտորների արտադրյալ, երբ նրա բաղադրիչները բավարարում են $T_{ki} T_{lj} - T_{li} T_{kj} = 0$ հավասարումներին:
43. Ապացուցել, որ եթե T_{ijk} թենզորը համաչափ է i և j ինդեքսների նկատմամբ և հակահամաչափ j և k ինդեքսների նկատմամբ, ապա այն հավասար է զրոյի:
44. Ապացուցել, որ եթե T_{ijk} թենզորը համաչափ է առաջին երկու ինդեքսների նկատմամբ, և $\vec{x} = x_i \hat{e}_i$ կամայական վեկտորի համար տեղի ունի $T_{ijk} x_i x_j x_k = 0$ առնչությունը, ապա $T_{ijk} + T_{jki}^t$

$$+ T_{kij} = 0$$

45. Յույց տալ, որ եթե երկու վեկտորների համապատասխան բաղադրիչները համեմատակալի են մի որևէ կոորդինատական համակարգում /այսինքն՝ վեկտորները զուգահեռ են/, ապա նրանք համեմատական կլինեն մյուս բոլոր համակարգերում:
46. Յույց տալ, որ ε_{ijk} -2իվիտի ε_{ijk} սիմվոլը երրորդ կարգի լրիվ հակահամաչափ փսևդոթենզոր է, որի բաղադրիչները նույնն են բոլոր դեկարտյան կոորդինատական համակարգերում:
47. Ապացուցել, որ երկրորդ կարգի հակահամաչափ թենզորի բաղադրիչները պտույտների դեպքում ձևափոխվում են ինչպես վեկտորի բաղադրիչներ:
48. Ապացուցել, որ երկու վեկտորների վեկտորական արտադրյալը փսևդովեկտոր է:
49. Ապացուցել նույնությունները.

$$a/ \varepsilon_{ikl} \varepsilon_{lmn} = \delta_{im} \delta_{kn} - \delta_{in} \delta_{km}$$

$$բ/ \varepsilon_{ikl} \varepsilon_{klm} = 2 \delta_{im}$$

50. Հետևյալ արտահայտությունները բերել ինվարիանտ վեկտորական տեսքի.

$$a/ \varepsilon_{inl} \varepsilon_{izs} \varepsilon_{lmp} \varepsilon_{stp} a_n a_z b_m c_t$$

$$բ/ \varepsilon_{inl} \varepsilon_{krs} \varepsilon_{lmp} \varepsilon_{stp} a_z a'_n b_k b'_i c_t c'_m$$

51. Յույց տալ, որ $T_{ik} a_i b_k - T_{ik} a_k b_i = 2 \vec{\omega} \cdot (\vec{a} \times \vec{b})$, որտեղ T_{ik} -ն երկրորդ կարգի կամայական թենզոր է, \vec{a} -ն և \vec{b} -ն վեկտորներ են, իսկ $\vec{\omega}$ -ն T_{ik} թենզորի հակահամաչափ մասին համադրեց վեկտորն է:

52. Յույց տալ, որ.

a/ միակ վեկտորը, որի բաղադրիչները նույնն են բոլոր կոորդինատական համակարգերում, զրոյական վեկտորն է,

բ/ երկրորդ կարգի ամեն մի թենզոր, որի բաղադրիչները նույնն են բոլոր համակարգերում, համեմատական է δ_{ik} -ին;

գ/ երրորդ կարգի ամեն մի թենզոր, որի բաղադրիչները նույնն են բոլոր կոորդինատական համակարգերում, համեմատական է ε_{ijk} -ին,

դ/ չորրորդ կարգի ամեն մի թենզոր, որի բաղադրիչները նույնն են բոլոր կոորդինատական համակարգերում, ունի

$$A \delta_{ik} \delta_{jm} + B \delta_{il} \delta_{km} + C \delta_{im} \delta_{kl} \quad \text{տեսք:}$$

53. Գիցուք \vec{n} -ը միավոր վեկտոր է, որի բոլոր ուղղութիւնները տարածութեան մեջ հավասար հավանական են: Գտնել հետևյալ մեծութիւնների միջին արժեքները, օգտվելով վերջիններիս փոխակերպումային /տրանսֆորմացիոն/ հատկութիւններից.

$$a/ \overline{n_i} \quad b/ \overline{n_i n_k} \quad , \quad c/ \overline{n_i n_k n_l} \quad , \quad d/ \overline{n_i n_k n_l n_m}$$

54. Գտնել հետևյալ արտահայտութիւնների միջինացված արժեքները ըստ բոլոր ուղղութիւնների.

$$a/ \overline{(\vec{a} \cdot \vec{n})^2} \quad , \quad b/ \overline{(\vec{a} \cdot \vec{n})(\vec{b} \cdot \vec{n})} \quad , \quad c/ \overline{(\vec{a} \cdot \vec{n})^3} \quad ,$$

$$d/ \overline{(\vec{a} \times \vec{n})^2} \quad , \quad e/ \overline{(\vec{a} \times \vec{n}) \cdot (\vec{b} \times \vec{n})} \quad , \quad f/ \overline{(\vec{a} \cdot \vec{n})(\vec{b} \cdot \vec{n})(\vec{c} \cdot \vec{n})(\vec{d} \cdot \vec{n})}$$

եթե \vec{n} -ը միավոր վեկտոր է, որի բոլոր ուղղութիւնները տարածութեան մեջ հավասար հավանական են, իսկ \vec{a} , \vec{b} , \vec{c} և \vec{d} վեկտորները հաստատուն են:

55. \vec{n} և \vec{n}' քանոային վեկտորներով և \vec{l} ֆսկդովեկտորով կազմել բոլոր հնարավոր անկախ ինվարիանտները:

56. Ինչպիսի՞ անկախ ֆսկդոսկայարներ կարելի է կառուցել.

$$a/ \vec{n} \text{ և } \vec{n}' \text{ երկու քանոային վեկտորներով և } \vec{l} \text{ ֆսկդովեկտորով,}$$
$$b/ \vec{n}_1, \vec{n}_2, \vec{n}_3 \text{ երեք քանոային վեկտորներով:}$$

57. Եույց սալ, որ նյութաւորի $m \frac{d^2 \vec{z}}{dt^2} = \vec{F}(\vec{z}, t)$ օրենքն ինվարիանտ է Գալիլեյի /1.47/ ձևափոխութիւնների նկատմամբ:

58. Ապացուցել, որ x , y , z , t կոորդինատների համար զրոյած Լորենցի ձևափոխութիւնները համարժեք են x , t հարթութեան մեջ ϑ անկյունով պտույտի, որտեղ ϑ -ն մարդուր կեղծ թիվ է: Գտնել ϑ անկյան և V արագութեան կապը:

59. Եույց սալ, որ

$$\frac{\partial^2 \phi}{\partial x^2} + \frac{\partial^2 \phi}{\partial y^2} + \frac{\partial^2 \phi}{\partial z^2} - \frac{1}{c^2} \frac{\partial^2 \phi}{\partial t^2} = 0$$

ալիքային հավասարումն ինվարիանտ է Լորենցի ձևափոխութիւնների նկատմամբ և ինվարիանտ չէ Գալիլեյի ձևափոխութիւնների նկատմամբ:

ԳԼՈՒԽ 2. ՎԵԿՏՈՐԱԿԱՆ ԱՆԱԼԻԶ

§ 1. Ակալյար դաշտ: Ածանցյալ ըստ ուղղութիւնի: Գրադիենտ

Եթե V տիրույթի յուրաքանչյուր կետի համապատասխանութեան մեջ է դրված φ սկալյար մեծութեան որոշակի արժեք, ապա ասում են, որ այդ տիրույթում տված է φ սկալյար դաշտը: Տալ սկալյար դաշտ, նշանակում է յուրաքանչյուր $M \in V$ կետում ունենալ $\varphi(M) = \varphi(\vec{x})$ սկալյար ֆունկցիան:

Ակալյար դաշտերի օրինակներ են՝ շերմաստիճանային դաշտը, լուսավորվածութեան, էլեկտրական լիցքերի խտութեան, զանգվածի խտութեան դաշտերը և այլն:

Ակալյար դաշտը կոչվում է ստացիոնար, եթե դիտարկվող մեծութեանը կախված է միայն տարածական կոորդինատներից, բայց ոչ ժամանակից: Իսկ եթե այդ մեծութեանը կախված է նաև ժամանակից, ապա համապատասխան դաշտը կոչվում է ոչ ստացիոնար:

Բոլոր M կետերի բազմութեանը, որոնցում $\varphi(M)$ սկալյար դաշտը ընդունում է միասնակ C արժեք՝ $\varphi(M) = C$, կոչվում է C քիսի համապատասխանող մակերևակի մակերևութ:

Դիցուք V տիրույթում որոշված է $\varphi(M)$ սկալյար դաշտը: Դիտարկենք $M \in V$ կետը և որևէ սկեռված ուղղութեան, որը բնութագրվում է \vec{l} վեկտորով: Եթե գոյութեան ունի

$$\frac{\varphi(M_1) - \varphi(M)}{MM_1}$$

հարաբերութեան սահմանը, երբ M_1 կետը շարժելով \vec{l} ուղղիով ձգտում է M կետին, ապա այն կոչվում է φ սկալյար դաշտի ածանցյալ M կետում ըստ \vec{l} ուղղութեան և նշանակվում է $\partial\varphi/\partial\vec{l}$ սիմվոլով՝

$$\frac{\partial\varphi}{\partial\vec{l}} = \lim_{M_1 \rightarrow M} \frac{\varphi(M_1) - \varphi(M)}{MM_1} \quad /2.1/$$

$\partial\varphi/\partial\vec{l}$ ածանցյալը բնութագրում է φ դաշտի փոփոխման արագութեանը \vec{l} ուղղութեամբ: Դեկարտյան կոորդինատական համակարգում՝

$$\frac{\partial\varphi}{\partial\vec{l}} = \frac{\partial\varphi}{\partial x} \cos\alpha + \frac{\partial\varphi}{\partial y} \cos\beta + \frac{\partial\varphi}{\partial z} \cos\gamma \quad /2.2/$$

որտեղ α , β և γ -ն \vec{l} վեկտորի կազմած անկյուններն են համապատասխանաբար x , y և z առանցքների հետ:

Ψ սկալյար դաշտի գրադիենտը դեկարտյան կոորդինատական համակարգում սահմանվում է

$$\text{grad } \Psi = \hat{e}_x \frac{\partial \Psi}{\partial x} + \hat{e}_y \frac{\partial \Psi}{\partial y} + \hat{e}_z \frac{\partial \Psi}{\partial z} = e_k \frac{\partial \Psi}{\partial x_k} \quad /2.3/$$

բանաձևով, որտեղ \hat{e}_x , \hat{e}_y , \hat{e}_z -ը դեկարտյան օրթերն են:

Համիլտոնի օպերատոր, կամ, ինչպես նաև ընդունված է անվանել, նաքլա օպերատոր կոչվում է

$$\vec{\nabla} = \hat{e}_x \frac{\partial}{\partial x} + \hat{e}_y \frac{\partial}{\partial y} + \hat{e}_z \frac{\partial}{\partial z} \quad /2.4/$$

սիմվոլիկ վեկտորը: Ելնելով այս սահմանումից Ψ սկալյար դաշտի գրադիենտը կարող ենք ներկայացնել $\vec{\nabla}$ օպերատորի և Ψ ֆունկցիայի արտադրյալի տեսքով.

$$\text{grad } \Psi = \vec{\nabla} \Psi \quad /2.5/$$

Օգտվելով գրադիենտի /2.3/ սահմանումից Ψ սկալյար դաշտի /2.2/ անսնցյալը կարող ենք ներկայացնել

$$\frac{\partial \Psi}{\partial \vec{l}} = \frac{\vec{l}}{l} \text{grad } \Psi = |\text{grad } \Psi| \cos(\vec{l} \wedge \text{grad } \Psi) \quad /2.6/$$

տեսքով, որտեղից պարզ է, որ $\partial \Psi / \partial \vec{l}$ անսնցյալը իր մեծագույն արժեքն ընդունում է $\text{grad } \Psi$ վեկտորի ուղղությամբ: /2.6/ առնչություներից միաժամանակ հետևում է, որ $\text{grad } \Psi$ վեկտորն ուղղված է մակարդակի մակերևույթի ուղղահայացով՝ $\Psi(M)$ ֆունկցիայի սմման ուղղությամբ: Այստեղից անմիջապես հետևում է, որ եթե $\Psi(M) = C$ -ն սկալյար դաշտի մակարդակի մակերևույթն է, իսկ \hat{n} -ը այդ մակերևույթի արտաքին նորմալի միավոր վեկտորը M կետում, ապա

$$\hat{n} = \pm \text{grad } \Psi / |\text{grad } \Psi| \quad /2.7/$$

որտեղ "±" նշանի ընտրությունը կախված է մակարդակի մակերևույթի կողմնորոշումից:

Գլխաային կոորդինատական համակարգում գրադիենտն ունի

$$\text{grad } \varphi = \hat{e}_\rho \frac{\partial \varphi}{\partial \rho} + \frac{1}{\rho} \hat{e}_\alpha \frac{\partial \varphi}{\partial \alpha} + \hat{e}_z \frac{\partial \varphi}{\partial z} \quad /2.8/$$

սեսքը, իսկ գնդայինում՝

$$\text{grad } \varphi = \hat{e}_r \frac{\partial \varphi}{\partial r} + \frac{1}{r} \hat{e}_\vartheta \frac{\partial \varphi}{\partial \vartheta} + \frac{1}{r \sin \vartheta} \hat{e}_\alpha \frac{\partial \varphi}{\partial \alpha} \quad /2.9/$$

սեսքը:

60. Գտնել հեռեյալ սկալյար դաշտերի մակարդակի մակերևույթները.

ա/ $\varphi = x^2 + y^2 - z$

բ/ $\varphi = \exp(x + 2y - z)$,

գ/ $\varphi = \ln |\vec{r}|$

61. Գտնել $\varphi = xyz$ սկալյար դաշտի սծանցյալը $M_0(1, -1, 1)$ կետում $\vec{M}_0 \vec{M}_1$ ուղղությամբ, եթե M_1 կետի կոորդինատներն են $M_1(2, 3, 1)$:

62. Գտնել $\varphi = \sin z$ սկալյար դաշտի սծանցյալը \vec{r} շառավիղ-վեկտորի ուղղությամբ:

63. Գտնել $\varphi = x^2 + y^2 - z$ սկալյար դաշտի մակարդակի մակերևույթի արտաքին նորմալի միավոր \hat{n} վեկտորը:

64. Յուլյց ասլ, որ

ա/ $\text{grad } z = \vec{r} / r$,

բ/ $\text{grad } z^n = n z^{n-2} \vec{r}$

գ/ $\text{grad } \ln z = \vec{r} / z^2$

65. Օգտվելով դեկարտյան, գնդային և գլանային կոորդինատայան համակարգերից՝ հաշվել $\text{grad}(\vec{r} \cdot \vec{r})$, $(\vec{r} \cdot \vec{\nabla}) \vec{r}$ մեծությունները, որտեղ \vec{r} -ը շառավիղ-վեկտորն է, իսկ \vec{r} -ը հաստատուն վեկտոր է:

66. Ապացուցել $\text{grad}(\varphi \psi) = \varphi \text{grad} \psi + \psi \text{grad} \varphi$ նույնությունը:

67. Գլանային կոորդինատայան համակարգում արված է $f(\rho) = 1/\rho$ սկալյար դաշտը, որտեղ $\rho = \sqrt{x^2 + y^2}$ և Գտնել $\text{grad } f$ -ը:

68. Յուլյց ասլ, որ $\text{grad } \varphi(\alpha) = \frac{\partial \varphi}{\partial \alpha} \text{grad } \alpha$, որտեղ $\alpha(x, y, z)$ -ը դիֆերենցելի ֆունկցիոն է, իսկ $\varphi(\alpha)$ ֆունկցիոն ունի սծանցյալ ըստ α -ի:

69. Հաշվել $\text{grad } \varphi(r)$, $(\vec{r} \cdot \vec{\nabla}) \varphi(r)$ մեծությունները:

70. Հաշվել $grad(\vec{A}(z) \cdot \vec{z})$, $grad(\vec{A}(z) \cdot \vec{B}(z))$, $(\vec{l} \cdot \vec{\nabla}) \varphi(z) \vec{A}(z)$ մեծությունները:

71. Հաշվել $grad\left(\frac{\vec{p} \cdot \vec{z}}{z^3}\right)$ ($\vec{p} = const$) մեծությունը, օգտվելով գնդային կոորդինատական համակարգից:

72. Գտնել այն կետերը, որոնցում $\varphi = \sin(x+y)$ սկալյար դաշտի գրադիենտը հավասար է $\hat{e}_x + \hat{e}_y$ վեկտորին:

§ 2. Վեկտորական դաշտ

Եթե V տիրույթի յուրաքանչյուր կետի համապատասխանության մեջ է դրված \vec{A} վեկտորական մեծության որոշակի արժեք, ապա ասում են, որ այդ տիրույթում տված է \vec{A} վեկտորական դաշտը: Տալ վեկտորական դաշտ, նշանակում է յուրաքանչյուր $M \in V$ կետում ունենալ $\vec{A}(M) = \vec{A}(\vec{z})$ վեկտորական ֆունկցիան, կամ $A_x(\vec{z})$, $A_y(\vec{z})$ և $A_z(\vec{z})$ երեք սկալյար ֆունկցիաները, այնպես որ

$$\vec{A}(\vec{z}) = A_x(\vec{z}) \hat{e}_x + A_y(\vec{z}) \hat{e}_y + A_z(\vec{z}) \hat{e}_z \quad /2.10/$$

Վեկտորական դաշտը կոչվում է ստացիոնար, եթե այն կախված է միայն տարածական կոորդինատներից, բայց ոչ ժամանակից: Եթե վեկտորական դաշտը կախված է նաև ժամանակից, ապա այն կոչվում է ոչ ստացիոնար:

Վեկտորական դաշտերի օրինակներ են՝ շարժվող հեղուկի արագությունները, գրավիտացիոն, էլեկտրաստատիկ դաշտերը և այլն:

2.1. Վեկտորական գծեր: Հոսք: Դիվերգենցիա:

\vec{A} վեկտորական դաշտի վեկտորական գիծ կոչվում է այն կորը, որի յուրաքանչյուր M կետում \vec{A} վեկտորը ուղղված է այդ կետում կորին տարած շոշափողի ուղղությամբ: Վեկտորական գծերի դիֆերենցիալ հավասարումը դեկարտյան կոորդինատական համակարգում ունի հետևյալ տեսքը

$$\frac{dx}{A_x} = \frac{dy}{A_y} = \frac{dz}{A_z} \quad /2.11/$$

Գլանային կոորդինատների դեպքում վեկտորական զոմերի հավասարումը գրվում է այսպես

$$\frac{d\rho}{A_\rho} = \frac{\rho d\alpha}{A_\alpha} = \frac{dz}{A_z}, \quad /2.12/$$

Իսկ գնդային կոորդինատների դեպքում՝

$$\frac{dz}{A_z} = \frac{r d\vartheta}{A_\vartheta} = \frac{r \sin\vartheta d\alpha}{A_\alpha} : \quad /2.13/$$

\vec{A} վեկտորի փոքր S մակերևույթով, որի կողմնորոշումը քննարկվում է մակերևույթին ուղղահայաց $\hat{n} = \hat{n}(M)$ միավոր վեկտորով, կոչվում է առաջին սեռի ֆեռմյուս մակերևույթային ինտեգրալը

$$\Phi = \iint_S \vec{A} \hat{n} dS = \iint_S \vec{A} \cdot d\vec{S} \quad /2.14/$$

որտեղ $d\vec{S} = \hat{n} dS$ -ը մակերևույթի մակերեսի վեկտորական տարրն է:

Քիչ S մակերևույթը քննարկվում է $\Psi(\vec{r})=0$ հավասարումով, ապա փոքրի համար կունենանք՝

$$\Phi = \pm \iint_S \frac{\vec{A} \cdot \text{grad} \Psi}{|\text{grad} \Psi|} dS, \quad /2.15/$$

որտեղ "±" նշանի ընտրությունը կախած է մակերևույթի կողմնորոշումից:

$\vec{A}(M)$ վեկտորական դաշտի դիվերգենցիան M կետում որոշվում է որպես սահման, որին ձգտում է M կետը շրջափակող S փակ մակերևույթով փոքրի և այդ մակերևույթով սահմանափակված V ծավալի հարաբերությունը, երբ այդ ծավալի տրամագիծը ձգտում է զրոյի՝

$$\text{div} \vec{A} = \lim_{\substack{S \rightarrow M \\ (V \rightarrow 0)}} \frac{1}{V} \iint_S \vec{A} \cdot d\vec{S} \quad /2.16/$$

Դիվերգենցիայի այս սահմանումը կախած չէ կոնկրետ կոորդինատական համակարգի ընտրությունից: Դեկարտյան կոորդինատական համակարգում՝

$$\text{div} \vec{A} = \frac{\partial A_x}{\partial x} + \frac{\partial A_y}{\partial y} + \frac{\partial A_z}{\partial z} = \frac{\partial A_i}{\partial x_i} : \quad /2.17/$$

Գլանային կոորդինատական համակարգում այն ունի ֆեռմյուս տեսքը.

$$\text{div} \vec{A} = \frac{1}{\rho} \frac{\partial(\rho A_\rho)}{\partial \rho} + \frac{1}{\rho} \frac{\partial A_\alpha}{\partial \alpha} + \frac{\partial A_z}{\partial z}, \quad /2.18/$$

իսկ գնդալիսում՝

$$\operatorname{div} \vec{A} = \frac{1}{r^2} \frac{\partial (r^2 A_r)}{\partial r} + \frac{1}{r \sin \vartheta} \frac{\partial (\sin \vartheta A_\vartheta)}{\partial \vartheta} + \frac{1}{r \sin \vartheta} \frac{\partial A_\alpha}{\partial \alpha} \quad /2.19/$$

Օգտագործելով նաբլա օպերատորը /2.4/ վեկտորական դաշտի դիվերգենցիան կարելի է ներկայացնել որպես $\vec{\nabla}$ օպերատորի և վեկտորի սկալյար արտադրյալ

$$\operatorname{div} \vec{A} = \vec{\nabla} \cdot \vec{A} \quad /2.20/$$

Տարածական այն կետերը, որոնցում $\operatorname{div} \vec{A} > 0$ կոչվում են վեկտորական \vec{A} դաշտի սղբյուրներ, իսկ կետերը, որոնցում $\operatorname{div} \vec{A} < 0$, կոչվում են քոհոսի կետեր:

73. Գտնել $\vec{V} = \vec{\omega} \times \vec{r}$ վեկտորական դաշտի վեկտորական գծերը և հաշվել $\operatorname{div} \vec{V}$ -ն, եթե $\vec{\omega}$ -ն հաստատուն վեկտոր է:

74. Գտնել հետևյալ վեկտորական դաշտերի վեկտորական գծերը.

ա/ $\vec{a} = f(\vec{r}) \vec{r}$

բ/ $\vec{a} = (\vec{p} \cdot \vec{r}) \vec{q}$

որտեղ \vec{p} -ն և \vec{q} -ն հաստատուն վեկտորներ են:

75. Գտնել $\vec{A} = \hat{e}_x$ վեկտորի հոսքը Ox առանցքին ուղղահայաց $\Delta y = 1$, $\Delta z = 2$ կողմեր ունեցող ուղղանկյունաձև մակերեսով, որպես դրական ուղղություն վերցնելով Ox առանցքի դրական ուղղությունը:

76. Հայտնի է, որ \vec{z} առանցքով ուղղված գծային անվերջ հողորդիչով հոսող I հաստատուն հոսանքը ստեղծում է

$$\vec{H} = \frac{2I}{x^2 + y^2} (-y \hat{e}_x + x \hat{e}_y)$$

մագնիսական դաշտ: Գտնել այդ դաշտի վեկտորական գծերը:

77. Օգտվելով դեկարտյան, զլանային և գնդալիս կոորդինատներից հաշվել $\operatorname{div} \vec{r}$, $\operatorname{div}(\varphi(r) \vec{r})$, $\operatorname{div}(\varphi(r) \vec{A}(r))$ մեծությունները:

78. Գտնել $\operatorname{div}(\varphi(r) \vec{r}) = 0$ հավասարմանը բավարարող $\varphi(r)$ ֆունկցիան:

79. Գտնել հետևյալ վեկտորների դիվերգենցիաները.

$$(\vec{a} \cdot \vec{r}) \vec{b}, (\vec{a} \cdot \vec{r}) \vec{r}, \vec{a} \times \vec{r}, \varphi(r) (\vec{a} \times \vec{r}), \vec{r} \times (\vec{a} \times \vec{r}),$$

որտեղ \vec{a} -ն, \vec{b} -ն հաստատուն վեկտորներ են:

80. Ապացուցել $\operatorname{div}(\varphi \vec{A}) = \varphi \operatorname{div} \vec{A} + \vec{A} \operatorname{grad} \varphi$ նույնութունը:

81. Ցույց տալ, որ

$$\text{a/ } \operatorname{div}(\tau^n \vec{a}) = n \tau^{n-2} (\vec{\tau} \cdot \vec{a}) \quad n \neq 2,$$

$$\text{բ/ } \operatorname{div}(\vec{a} \times \vec{\tau}) = 0$$

$$\text{գ/ } \operatorname{div}(\vec{\tau} / \tau^3) = 0$$

$$\text{դ/ } \operatorname{div}(\tau^n \vec{\tau}) = (n+3) \tau^n$$

որտեղ \vec{a} -ն հաստատուն վեկտոր է:

82. Գտնել $\vec{A} = x \hat{e}_x + y \hat{e}_y - 3z \hat{e}_z$ վեկտորական դաշտի հոսքը $z = 4$ հարթությունը հասկած $z = x^2 + y^2$ պարաբոլոիդի արտաքին մակերևույթով:

83. Գտնել $\vec{A} = z \hat{e}_x + \hat{e}_y - x \hat{e}_z$ վեկտորական դաշտի հոսքը $x^2 + y^2 + z^2 = 1$ գնդիկի արտաքին մակերևույթով:

84. Հաշվել $\vec{A} = (x-1)^3 \hat{e}_x + (y+2) \hat{e}_y + (z-2)^3 \hat{e}_z$ վեկտորական դաշտի հոսքը $(x-1)^2 + (y+2)^2 + (z-2)^2 = R^2$ գնդիկի արտաքին մակերևույթով:

85. Հաշվել $\vec{A} = \vec{\tau}$ վեկտորական դաշտի հոսքը V ծավալը սահմանափակող մակերևույթով:

86. Հաշվել $\vec{A} = 4xz \hat{e}_x - y^2 \hat{e}_y + yz \hat{e}_z$ վեկտորական դաշտի հոսքը $x = 0, x = 1, y = 0, y = 1, z = 0, z = 1$ հարթություններով սահմանափակված միավոր խորանարդի արտաքին մակերևույթով:

2.2. վեկտորական դաշտի գծային ինտեգրալ:

Շրջապատւյալ: Թոտոր

\vec{A} վեկտորական դաշտի գծային ինտեգրալ կոչվում է

$$I_L = \int_L \vec{A} \cdot \hat{\tau} \, dl \quad /2.21/$$

առաջին սեռի կորագիծ ինտեգրալը, որտեղ L -ը ողորկ կողմնորոշված կոր է, որի յուրաքանչյուր կետում որոշված է \vec{A} վեկտորական դաշտը, իսկ $\hat{\tau}$ -ն այդ կորի շոշափողով ուղղված միավոր վեկտոր է: Հաշվի առնելով, որ $\hat{\tau} \, dl = d\vec{\tau}$ I_L գծային ինտեգրալը կներկայացնենք

$$I_L = \int_L \vec{A} \cdot d\vec{\tau} \quad /2.22/$$

տեսքով կամ դեկարտյան կոորդինատական համակարգում՝

$$I_L = \int A_x dx + A_y dy + A_z dz \quad /2.23/$$

եթե L կորն ունի $\vec{r} = \vec{r}(t)$, $t \in [\alpha, \beta]$ վեկտորական ներկայացում, ապա

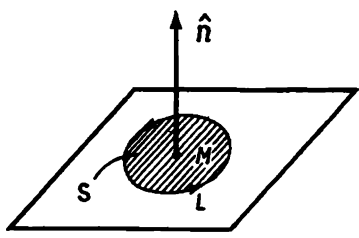
$$I_L = \int_{\alpha}^{\beta} \vec{A}(\vec{r}(t)) \vec{r}'(t) dt \quad /2.24/$$

Ֆիզիկայում վեկտորական դաշտի գծային ինտեգրալի օրինակ է արտաքին ուժադաշտում շարժվող մասնիկի վրա արտաքին ուժի կատարած աշխատանքը:

Վեկտորական դաշտի գծային ինտեգրալը L փակ կորով կոչվում է այդ դաշտի շրջապտույտ L կորի երկայնքով

$$C = \oint_L \vec{A} \cdot d\vec{r} \quad /2.25/$$

Շրջապտույտի զաղափարի հետ սերտորեն կապված է վեկտորական դաշտի ռոտորի կամ մրրկի զաղափարը: Դիցուք M կետում և նրա շրջակայքում որոշված է անընդհատ \vec{A} վեկտորական դաշտը: M կետով անցնող ավան \hat{n} միավոր վեկտորին ուղղահայաց հարթություն և այդ հարթության վրա վերցնենք M կետը շրջագծով L փակ եզրագիծը, որի շրջանցման դրական ուղղութիւնը \hat{n} ուղղութիւնի հետ կազմում է աջ պտուտակային համակարգ /Նկ.6/: Ասմանը, որին ձգտում է \vec{A} վեկտորական դաշտի L եզրագծով շրջապտույտի և այդ եզրագիծով ասմանափակված S մակերեսի հարաբերութիւնը, երբ L եզրագիծը ձգտում է M կետին ($S \rightarrow 0$), կոչվում է \vec{A} վեկտորական դաշտի ռոտորի պրոյեկցիա \hat{n} ուղղութիւնի վրա



$$\begin{aligned} \text{rot } \vec{A} \Big|_{\hat{n}} &= \quad /2.26/ \\ &= \lim_{\substack{L \rightarrow M \\ (S \rightarrow 0)}} \frac{1}{S} \int_L \vec{A} \cdot d\vec{r} \end{aligned}$$

Ռոտորի այս ասմանումը կախված չէ կոնկրետ կոորդինատական համակարգի ընտրութիւններից:

Դեկարտյան կոորդինատական համակարգում \vec{A} վեկտորական դաշտի ռոտորը որոշվում է

$$\text{rot } \vec{A} = \left(\frac{\partial A_z}{\partial y} - \frac{\partial A_y}{\partial z} \right) \hat{e}_x + \left(\frac{\partial A_x}{\partial z} - \frac{\partial A_z}{\partial x} \right) \hat{e}_y + \left(\frac{\partial A_y}{\partial x} - \frac{\partial A_x}{\partial y} \right) \hat{e}_z /2.27/$$

բանձնեմք: Օգտագործելով Լեի-Չիվիտի ε_{ijk} սիմվոլը, այն կարելի է ներկայացնել

$$\text{rot } \vec{A} = \hat{e}_i \varepsilon_{ijk} \frac{\partial A_k}{\partial x_j} \quad /2.28/$$

սեսքով, որտեղից երևում է, որ \vec{A} վեկտորի ռոտորը $\vec{\nabla}$ օպերատորի և \vec{A} վեկտորի վեկտորական արտադրյալն է

$$\text{rot } \vec{A} = \vec{\nabla} \times \vec{A} = \det \begin{pmatrix} \hat{e}_x & \hat{e}_y & \hat{e}_z \\ \partial/\partial x & \partial/\partial y & \partial/\partial z \\ A_x & A_y & A_z \end{pmatrix} \quad /2.29/$$

Գլանային կոորդինատական համակարգում՝

$$\text{rot } \vec{A} = \frac{1}{\rho} \det \begin{pmatrix} \hat{e}_\rho & \hat{e}_\alpha & \hat{e}_z \\ \partial/\partial \rho & \partial/\partial \alpha & \partial/\partial z \\ A_\rho & \rho A_\alpha & A_z \end{pmatrix}, \quad /2.30/$$

իսկ գնդայինում՝

$$\text{rot } \vec{A} = \frac{1}{r^2 \sin \vartheta} \det \begin{pmatrix} \hat{e}_r & \hat{e}_\vartheta & \hat{e}_\alpha \\ \partial/\partial r & \partial/\partial \vartheta & \partial/\partial \alpha \\ A_r & r A_\vartheta & r \sin \vartheta A_\alpha \end{pmatrix}; \quad /2.31/$$

87. Գտնել $\vec{A} = y \hat{e}_x + z \hat{e}_y + x \hat{e}_z$ վեկտորական դաշտի գծային ինտեգրալը $x = a \cos t$, $y = a \sin t$, $z = \beta t$ պտուտակային գծի $0 < t < 2\pi$ առաջին զալարի երկայնքով:

88. Գտնել հեռեյալ վեկտորական դաշտերի գծային ինտեգրալները $A(\vec{r}_1)$ և $B(\vec{r}_2)$ կեսերով սահմանափակված ուղղաձիգ հասվածի երկայնքով.

ա/ $\vec{A} = \vec{r}$

բ/ $\vec{A} = \vec{r}/r^2$

գ/ $\vec{A} = \vec{r}/r^3$

89. Ապացուցել, որ $\text{grad } \varphi(\vec{r})$ վեկտորական դաշտի գծային ինտեգրալի համար տեղի ունի հեռեյալ նույնությունը.

$$\int_{AB} \text{grad } \varphi \cdot d\vec{r} = \varphi(B) - \varphi(A):$$

90. Յուլյց տալ, որ \vec{A} վեկտորական դաշտի գծային ինտեգրալը դաշտի յուրաքանչյուր վեկտորական գծի երկայնքով զրոյից ստորքեր է:
91. Գտնել $\vec{A} = -y^3 \hat{e}_x + x^3 \hat{e}_y$ վեկտորական դաշտի շրջապտույտը $x^2/a^2 + y^2/b^2 = 1$ էլիպսի երկայնքով:
92. Յուլյց տալ, որ եթե վեկտորական դաշտում վեկտորի շրջապտույտը կամայական փակ եզրագծով զրո է, ապա այդպիսի դաշտում չեն կարող լինել փակ վեկտորական գծեր:
93. Հեղուկի հավասարակշռության հավասարումն ունի $\vec{\nabla}P = \rho \vec{f}$ տեսքը, որտեղ P -ն ճնշումն է, ρ -ն հեղուկի խտությունը, իսկ \vec{f} -ը զանգվածային ուժերի ինտենսիվությունը / ծանրության ուժի դաշտում $\vec{f} = \vec{g}$ /: Յուլյց տալ, որ հեղուկի հավասարակշռությունը կարող է տեղի ունենալ միայն այնպիսի ուժային դաշտում, որի ուժագծերն ուղղահայաց են $\text{rot } \vec{f}$ դաշտի վեկտորական գծերին:
94. Գտնել $\vec{\omega}$ հաստատուն անկյունային արագությունը պտտվող պինդ մարմնի արագությունների դաշտի ոտտորը:
95. Գտնել անշարժ առանցքի շուրջը պտտվող պինդ մարմնի $\vec{\omega}$ անկյունային արագությունը, եթե նրա գծային արագությունը որոշվում է $\vec{v} = 2x \hat{e}_x + y^2 \hat{e}_y + xz \hat{e}_z$ առնչությունը:
96. Ինչպիսի՞ն պեսք է լինի $f(x, z)$ Ֆունկցիան, որպեսզի $\vec{A} = yz \hat{e}_x + f(x, z) \hat{e}_y + xy \hat{e}_z$ վեկտորական դաշտի ոտտորը համընկնի $\hat{e}_x - \hat{e}_x$ վեկտորի հետ:
97. Ապացուցել, որ $\text{rot } \varphi \vec{A} = \varphi \text{rot } \vec{A} - \vec{A} \times \text{grad } \varphi$
98. Օգտվելով դեկարտյան, գնդային և գլանային կոորդինատներից, հաշվել $\text{rot } \vec{r}$, $\text{rot } (\varphi(r) \vec{r})$ մեծությունները:
99. Գտնել հետևյալ Ֆունկցիաների ոտտորները $(\vec{a} \cdot \vec{r}) \vec{b}$, $(\vec{a} \cdot \vec{r}) \vec{r}$, $\vec{a} \times \vec{r}$, $\varphi(r) (\vec{a} \times \vec{r})$, $\vec{r} \times (\vec{a} \times \vec{r})$, որտեղ \vec{a} -ն և \vec{b} -ն հաստատուն վեկտորներ են:
100. Հաշվել $\text{rot } [\varphi(r) \vec{A}(r)]$ մեծությունը:
101. Օգտվելով գնդային կոորդինատական համակարգից հաշվել $\text{rot } [(\vec{r} \times \vec{r}) / r^3]$ մեծությունը, որտեղ \vec{r} -ն հաստատուն վեկտոր է:
102. Գտնել $\vec{A} = (x + z) \hat{e}_x + (y + z) \hat{e}_y + (x^2 + z) \hat{e}_z$ վեկտորի ոտտորը:

103. Գտնել զնդալիս կոորդինատական համակարգում տրված

$$\vec{A} = \frac{\cos \vartheta}{r^2} \hat{e}_r + \frac{\sin \vartheta}{r^2} \hat{e}_\vartheta, \text{ վեկտորական դաշտի ոտտորը:}$$

2.3. Դիֆերենցիալ օպերատորների համասեղ կիրառություններ

104. Ապացուցել, որ կամայական φ սկալյար դաշտի համար $\text{rot grad } \varphi = 0$:

105. Ցույց տալ, որ կամայական \vec{A} վեկտորական դաշտի համար $\text{div rot } \vec{A} = 0$:

106. Օգտվելով $\vec{\nabla}$ օպերատորից և վեկտորների բազմապատկման ու դիֆերենցիալ կանոններից և շղիմելով կոորդինատական առանցքների վրա նրանց բաղադրիչներին ապացուցել հետևյալ նույնությունները

$$\text{a/ } \text{div}(\vec{A} \times \vec{B}) = \vec{B} \cdot \text{rot } \vec{A} - \vec{A} \cdot \text{rot } \vec{B},$$

$$\text{բ/ } \text{rot}(\vec{A} \times \vec{B}) = \vec{A} \text{ div } \vec{B} - \vec{B} \text{ div } \vec{A} + (\vec{B} \cdot \vec{\nabla}) \vec{A} - (\vec{A} \cdot \vec{\nabla}) \vec{B},$$

$$\text{գ/ } \text{grad}(\vec{A} \cdot \vec{B}) = \vec{A} \times \text{rot } \vec{B} + \vec{B} \times \text{rot } \vec{A} + (\vec{B} \cdot \vec{\nabla}) \vec{A} + (\vec{A} \cdot \vec{\nabla}) \vec{B}:$$

107. Ապացուցել նույնությունները.

$$\text{ա/ } \vec{C} \cdot \text{grad}(\vec{A} \cdot \vec{B}) = \vec{A}(\vec{C} \cdot \vec{\nabla}) \vec{B} + \vec{B}(\vec{C} \cdot \vec{\nabla}) \vec{A},$$

$$\text{բ/ } (\vec{C} \cdot \vec{\nabla})(\vec{A} \times \vec{B}) = \vec{A} \times (\vec{C} \cdot \vec{\nabla}) \vec{B} - \vec{B} \times (\vec{C} \cdot \vec{\nabla}) \vec{A},$$

$$\text{գ/ } (\vec{\nabla} \cdot \vec{A}) \vec{B} = (\vec{A} \cdot \vec{\nabla}) \vec{B} + \vec{B} \text{ div } \vec{A},$$

$$\text{դ/ } (\vec{A} \times \vec{B}) \text{ rot } \vec{C} = \vec{B}(\vec{A} \cdot \vec{\nabla}) \vec{C} - \vec{A}(\vec{B} \cdot \vec{\nabla}) \vec{C},$$

$$\text{ե/ } (\vec{A} \times \vec{\nabla}) \times \vec{B} = (\vec{A} \cdot \vec{\nabla}) \vec{B} + \vec{A} \times \text{rot } \vec{B} - \vec{A} \text{ div } \vec{B},$$

$$\text{զ/ } (\vec{\nabla} \times \vec{A}) \times \vec{B} = \vec{A} \text{ div } \vec{B} - (\vec{A} \cdot \vec{\nabla}) \vec{B} - \vec{A} \times \text{rot } \vec{B} - \vec{B} \times \text{rot } \vec{A}:$$

108. Ապացուցել, որ $\vec{A}^2 = \text{const.}$ դեպքում սեղի ունի

$$(\vec{A} \cdot \vec{\nabla}) \vec{A} = -\vec{A} \times \text{rot } \vec{A} \quad \text{նույնությունը:}$$

109. Ցույց տալ, որ $\text{rot rot } \vec{A} = -\nabla^2 \vec{A} + \text{grad div } \vec{A}$:

110. Ապացուցել, որ $\vec{A} = \varphi \text{ grad } \psi$ վեկտորն օրթոգոնալ է $\text{rot } \vec{A}$ վեկտորին:

111. Ցույց տալ, որ $\vec{\nabla}(\varphi/\psi) = (\psi \vec{\nabla} \varphi - \varphi \vec{\nabla} \psi) / \psi^2$:

2.4. Սուլենոիդային վեկտորական դաշտ:
Վեկտորական պոտենցիալ

\vec{A} վեկտորական դաշտը կոչվում է սուլենոիդային V տիրույթում, եթե այդ տիրույթի յուրաքանչյուր կետում նրա դիվերգենցիան զրո է.

$$\operatorname{div} \vec{A} = 0 \quad /2.32/$$

Այսպիսով, սահմանափակ համաձայն, սուլենոիդային դաշտը չունի արդյուրներ և առհասի կետեր:

Եթե սուլենոիդային դաշտը տրված է միակապ տիրույթում, ապա վեկտորի հոսքը այդ տիրույթին պատկանող կամայական փակ մակերևույթով հավասար է զրոյի

$$\oint \vec{A} d\vec{S} = 0 \quad /2.33/$$

Բազմակապ տիրույթում տրված սուլենոիդային դաշտի համար, ընդհանրապես, նման պնդումը միշտ չէ:

Սուլենոիդային դաշտում վեկտորական գծերը չեն կարող ոչ սկսել և ոչ էլ վերջանալ դաշտի ներսում. նրանք կամ փակ են, կամ ունեն ծայրեր դաշտի եզրի վրա, կամ էլ ունեն անվերջ մյուսեր, եթե տիրույթը, որտեղ որոշված է դաշտը, սահմանափակ չէ:

Սուլենոիդային դաշտերի համար կարելի է մտցնել վեկտորական պոտենցիալի գաղափարը: $\vec{W}(M)$ վեկտորական դաշտը կոչվում է \vec{A} սուլենոիդային վեկտորական դաշտի վեկտորական պոտենցիալ, եթե տեղի ունի

$$\vec{A}(M) = \operatorname{rot} \vec{W}(M) \quad /2.34/$$

տեսչությունը:

Քանի որ կամայական φ սկալյար ֆունկցիայի համար $\operatorname{rot} \operatorname{grad} \varphi = 0$, ապա անհայտ է, որ /2.34/ տեսչությանը սահմանված \vec{W} վեկտորական պոտենցիալը որոշվում է կամայական φ սկալյար ֆունկցիայի զրոգի ենթաի մշտությունը: Այսինքն, եթե \vec{W} -ն \vec{A} վեկտորական դաշտի վեկտորական պոտենցիալն է, ապա այդ դաշտի վեկտորական պոտենցիալը կլինի նաև $\vec{W} + \operatorname{grad} \varphi$ վեկտորը, որտեղ φ -ն կամայական սկալյար ֆունկցիա է:

Դեկարտյան կոորդինատական համակարգում \vec{W} վեկտորական պոտենցիալի և համապատասխան \vec{A} վեկտորական դաշտի բաղադրիչների կապը

արվում է

$$A_x = \frac{\partial W_x}{\partial y} - \frac{\partial W_y}{\partial z}, \quad A_y = \frac{\partial W_x}{\partial z} - \frac{\partial W_z}{\partial x}, \quad A_z = \frac{\partial W_y}{\partial x} - \frac{\partial W_x}{\partial y} \quad /2.35/$$

դիֆերենցիալ հավասարումների համակարգի միջոցով:

112. Ցուլց տալ, որ $\vec{A} = q\vec{r}/r^3$ ($q = const.$) վեկտորական դաշտը սուլե-
նոիդալիւն է սարածուլթլան բուլոբ կետերում, բարատուլթլամբ կոոբ-
դիւտաների սկզբնակետի:

113. Ցուլց տալ, որ եթե $\vec{\omega}$ -ն հաստատուն վեկտոր է, ապա
 $\vec{A} = \vec{r} (\vec{\omega} \times \vec{r})$ դաշտը սուլենոիդալիւն է: Գտնել ալդ
դաշտի վեկտորական պոտենցիալներից որևէ մեկը:

114. Գտնել $\varphi(r)$ Ֆուլնկցիալի ընդհանուր տեսքը, որի դեկարտեզ
 $\vec{A} = \varphi(r)\vec{r}$ դաշտը կլիւսի սուլենոիդալիւն:

115. Ցուլց տալ, որ սուլենոիդալիւն դաշտում \vec{A} վեկտորի հոսքը
կախված է միայն L եզրագծի տեսցից, բայց ոչ նրա վրա
հեկված մակերևուլթից:

116. Ապացուցել, որ $\text{rot } \vec{A}$ վեկտորական դաշտը սուլենոիդալիւն է:

117. Ցուլց տալ, որ $\vec{\nabla} \times (\vec{\nabla} \times \vec{A}) - \kappa^2 \vec{A} = 0$ հավասարման ցանկացած
լուծում, որը բավարարում է սուլենոիդալիւնության պայմանիւն, բա-
վարարում է նաև շեկմհուլցի վեկտորական $\nabla^2 \vec{A} + \kappa^2 \vec{A} = 0$
հավասարմանը:

118. Ցուլց տալ, որ եթե $\varphi(\vec{r})$ -ը Լապլասի հավասարմանը բավարարող
Ֆուլնկցիա է, ապա $\vec{\nabla} \varphi$ վեկտորական դաշտը սուլենոիդալիւն է:

2.5. Գտենցիալալիւն վեկտորական դաշտ:

Ակալլար պոտենցիալ

\vec{A} վեկտորական դաշտը V տիրուլթում կոլվում է պոտենցիա-
լալիւն, եթե գոյուլթում ունի ալնալիսի $\varphi(M)$ սկալլար դաշտ, որի
գրադիենտը ալդ տիրուլթի յուլթաքանչյուր կետում համընկում է \vec{A}
վեկտորական դաշտի հետ, ալսիւնը՝

$$\vec{A}(M) = \text{grad } \varphi(M): \quad /2.36/$$

Այդ դեպքում $\varphi(M_0)$ -ը կոչվում է $\vec{A}(M)$ վեկտորական դաշտի սկալյար պոտենցիալ կամ պարզապես պոտենցիալ:

Վեկտորական տեսքով գրված /2.36/ հավասարումը դեկարտյան բաղադրիչների դեպքում կունենա

$$A_x = \frac{\partial \varphi}{\partial x} \quad A_y = \frac{\partial \varphi}{\partial y} \quad , \quad A_z = \frac{\partial \varphi}{\partial z} \quad /2.37/$$

տեսքը:

Պոտենցիալային դաշտը վեկտորական դաշտի պարզագույն օրինակներից մեկն է, քանի որ այն լրիվությամբ որոշվում է մեկ սկալյար ֆունկցիայի միջոցով, այն դեպքում, երբ կամայական $\vec{A}(M)$ վեկտորական դաշտ ընդհանրապես որոշվում է A_x, A_y, A_z երեք սկալյար դաշտերով:

\vec{A} պոտենցիալային դաշտի φ սկալյար պոտենցիալը որոշվում է կամայական հաստատուն գումարների օջտությամբ:

Որպեսզի V միակապ տիրույթում արված \vec{A} վեկտորական դաշտը լինի պոտենցիալային, անհրաժեշտ է և բավարար, որպեսզի այդ տիրույթի յուրաքանչյուր կետում բավարարվի

$$\text{rot } \vec{A} = 0 \quad /2.38/$$

պայմանը:

Եթե \vec{A} վեկտորական դաշտը պոտենցիալային է V տիրույթում, ապա նրա գծային ինտեգրալը կախված չէ կորի տեսքից և հավասար է վերջնական և սկզբնական կետերում սկալյար պոտենցիալի արժեքների տարբերությանը՝

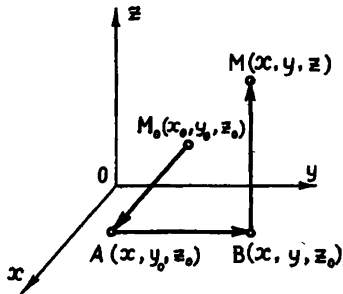
$$\int_{M_0}^M \vec{A} \cdot d\vec{z} = \varphi(M) - \varphi(M_0) \quad /2.39/$$

/2.39/ արտահայտությունը կարող է միաժամանակ օգտագործվել ավան պոտենցիալային դաշտի φ սկալյար պոտենցիալի հաշվման նպատակով՝

$$\varphi(M) = \varphi(M_0) + \int_{M_0}^M \vec{A} \cdot d\vec{z} \quad /2.40/$$

որտեղ $M_0(x_0, y_0, z_0)$ -ն դաշտի որևէ սկեռված կետ է, իսկ $M(x, y, z)$ -ը կամայական ընթացիկ կետ է:

Քանի որ \vec{A} պոտենցիալային դաշտի գծային ինտեգրալը կախված չէ ինտեգրման նախաբերի ձևից, ապա նպատակահարմար է լինում սկալյար պոտենցիալի հաշվման ժամանակ վերցնել x, y, z առանցքների գուլգամեռ երեք ուղղագիծ հասվածներից բաղկացած $M_0(x_0, y_0, z_0)$



Նկ. 7.

կետը $M(x, y, z)$ կետին միացնող քելյալ, ինչպես այդ պատկերված է Նկ. 7-ում: Ինտեգրման սահմանը հի այսպիսի ընտրության դեպքում կունենանք

$$\begin{aligned} \varphi(x, y, z) = & \varphi(x_0, y_0, z_0) + \\ & + \int_{x_0}^x A_x(x, y_0, z_0) dx + \\ & + \int_{y_0}^y A_y(x, y, z_0) dy + \\ & + \int_{z_0}^z A_z(x, y, z) dz : \quad /2.41/ \end{aligned}$$

119. Ստուգել, որ $\vec{A} = (3yz + x^2) \hat{e}_x + (2y^2 + 3xz) \hat{e}_y + (z^2 + 3xy) \hat{e}_z$ դաշտը պոտենցիալային է և գտնել նրա սկալյար պոտենցիալը:
120. Գրեցուք $\vec{F} = -Gm\vec{r}/r^3$ զրավիսացիոն դաշտն է, որն իրենից ներկայացնում է կոորդինատների համակարգի սկզբնակետում տեղակայված կետային m զանգվածի կողմից \vec{r} շառավիղ-վեկտորով կետում գտնվող միավոր զանգվածի վրա ազդող ուժը: Ցույց տալ, որ \vec{F} դաշտը պոտենցիալային է ամենուրեք, բացառաբայումբ կոորդինատների համակարգի սկզբնակետի և գտնել նրա սկալյար պոտենցիալը:
121. Համոզվել, որ գլանային կոորդինատական համակարգում տրված $\vec{A} = 2\rho z \sin\alpha \hat{e}_\rho + \rho z \cos\alpha \hat{e}_\alpha + \rho^2 \sin\alpha \hat{e}_z$ դաշտը պոտենցիալային է և գտնել նրա սկալյար պոտենցիալը:
122. Ապացուցել, որ $\vec{A} = \varphi(r)\vec{r}$ դաշտը պոտենցիալային է:
123. Ապացուցել, որ $\vec{A} = \text{grad}\varphi$ պոտենցիալային դաշտի վեկտորական գծերը ուղղահայաց են φ ֆունկցիայի մակարդակի մակերևույթին:
124. Ապացուցել Բեռնալի վեկտորական դաշտերի պոտենցիալային լինելը և գտնել նրանց սկալյար պոտենցիալները.
- ա/ $\vec{A} = \vec{r}/r$,
- բ/ $\vec{A} = \vec{r}/r^2$,
- գ/ $\vec{A} = \vec{r}/r^3$
125. Ցույց տալ, որ \vec{A} պոտենցիալային վեկտորական դաշտի գծային

իմեքզումը M_0 և M_1 կետերը միացնող կորով կախված չէ այդ կորի տեսքից, այլ կախված է միայն M_0 և M_1 կետերի դիրքերից:

2.6. Վեկտորական անալիզի իմեքզումը
Քեոբեմները

Գաուսի-Օստրոգրադսկու քեոբեմը պնդում է, որ եթե \vec{A} վեկտորական դաշտը և նրա դիվերգենցիան անընդհատ են, ողորկ կամ կտր առ կտր ողորկ S մակերևույթով սահմանափակված V տիրույթի բոլոր կետերում, ապա \vec{A} վեկտորական դաշտի հոսքը S փակ մակերևույթի արտաքին կողմով հավասար է դիվերգենցիայի ծավալային իմեքզումին ըստ V ծավալի.

$$\oint_S \vec{A} \cdot d\vec{S} = \iiint_V \text{div} \vec{A} \, dV \quad /2.42/$$

Այս առնչությունից հետևում է, որ \vec{A} վեկտորական դաշտի հոսքը S փակ մակերևույթով հավասար է զրոյի այն և միայն այն ժամանակ, երբ դաշտը սուլենոիդային է այդ մակերևույթով սահմանափակված V տիրույթում / իհարկե, ամբողջ V տիրույթում դիվերգենցիայի անընդհատություն պայմանի դեպքում /:

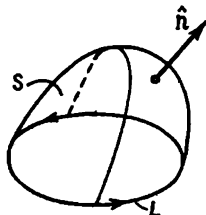
Գաուսի-Օստրոգրադսկու /2.42/ բանաձևը կախված չէ կոորդինատական համակարգի ընտրությունից: Այն կարելի է օգտագործել վեկտորական դաշտի հոսքը փակ մակերևույթով հաշվելու համար:

Եռաչափ V տիրույթը կոչվում է մակերևութային-միակապ, եթե այդ տիրույթի մեջ ընկած յուրաքանչյուր L փակ եզրագծի համար գոյություն ունի այդ եզրագծին հենված և լրիվությունաբ V տիրույթի մեջ ընկած S մակերևույթ:

Ս ա ո թ ս ի ք ե ո թ ե մ ը պնդում է, որ եթե \vec{A} վեկտորական դաշտը և նրա ռոտորը անընդհատ են, մակերևութային-միակապ V տիրույթում, ապա այդ դաշտի շրջապատյալ V տիրույթի մեջ ընկած L կառը առ կառը ողորկ փակ եզրագծով հավասար է ռոտ \vec{A} դաշտի հոսքին այդ եզրագծի վրա հենված և ամբողջությամբ V տիրույթի մեջ ընկած S մակերևույթով

$$\oint_L \vec{A} \cdot d\vec{z} = \iint_S \text{rot} \vec{A} \, d\vec{S} \quad /2.43/$$

Ենթադրվում է, որ S մակերևույթի կողմնորոշումը համաձայնեցված է L եզրագծի շրջանցման ուղղության հետ այնպես, որպեսզի S մակերևույթին ուղղահայաց \hat{n} միավոր վեկտորի ծայրից նայելու դեպքում եզրագծի շրջանցումը երևա ժամացույցի սլաքի շարժմանը հակառակ ուղղությամբ, կամ, ինչպես այլ կերպ ընդունված է ստել, L եզրագծի շրջանցման ուղղությունը և \hat{n} վեկտորը կազմեն աջ պտուտակային համակարգ /նկ.8/:



նկ.8.

Ստորսի /2.43/ բանաձևից երևում է, որ այն բանի համար, որպեսզի \vec{A} վեկտորական դաշտի գծային ինտեգրալը կախված չլինի ինտեգրման ճանապարհի ձևից, անհրաժեշտ է

և բավարար, որպեսզի \vec{A} վեկտորական դաշտը լինի ոչ մրդկային՝ $\text{rot } \vec{A} = 0$, այսինքն պոտենցիալային դաշտ:

126. Օգտվելով Գաուսի-Օստրոգոթսուկու թեորեմից, հաշվել $\vec{A} = x^2 \hat{e}_x + y^2 \hat{e}_y + z^2 \hat{e}_z$ վեկտորական դաշտի հոսքը $x^2 + y^2 + z^2 = R^2$, ($z > 0$), $z = 0$ փակ մակերևույթով:
127. $\iiint \text{grad } \text{rot } \vec{A} \, dV$ ծավալային ինտեգրալը ձևափոխել մակերևույթայինի:
128. Հաշվել $\oint \vec{r} (\vec{a} \cdot \hat{n}) \, dS$ և $\oint (\vec{a} \cdot \vec{r}) \hat{n} \, dS$ ինտեգրալները, որտեղ \vec{a} -ն հաստատուն վեկտոր է, \hat{n} -ը մակերևույթին ուղղահայաց օրթն է:
129. Փակ մակերևույթային հեռեյալ ինտեգրալները ձևափոխել ծավալայինի, եթե \vec{a} -ն և \vec{b} -ն հաստատուն վեկտորներ են, իսկ \hat{n} -ը մակերևույթին ուղղահայաց օրթն է:
- ա/ $\oint \hat{n} \varphi \, dS$,
- բ/ $\oint (\hat{n} \times \vec{a}) \, dS$,
- գ/ $\oint (\hat{n} \cdot \vec{b}) \vec{a} \, dS$:
130. Հեղուկի մեջ ընկղմված մարմնի մակերևույթի տարրի վրա կիրառված ճնշման ուժերի ամբիշական գումարման եղանակով ստանալ Արքիմեդի օրենքը:

131. Ապացուցել, որ կամայական \vec{A} վեկտորական և φ սկալյար դիֆերենցիալի դաշտերի համար տեղի ունենն Գուսսայի նույնությունները.

$$ա/ \iiint_V \vec{\nabla} \varphi(\vec{r}) dV = \oint_S \varphi(\vec{r}) d\vec{S},$$

$$բ/ \iiint_V \vec{\nabla} \vec{A}(\vec{r}) dV = \oint_S \vec{A}(\vec{r}) d\vec{S},$$

$$գ/ \iiint_V [\vec{\nabla} \times \vec{A}(\vec{r})] dV = \oint_S (d\vec{S} \times \vec{A}(\vec{r})),$$

$$դ/ \iint_S d\vec{S} \times \vec{\nabla} \varphi(\vec{r}) = \oint_L \varphi(\vec{r}) d\vec{r}$$

$$ե/ \iint_S [(d\vec{S} \times \vec{\nabla}) \times \vec{A}(\vec{r})] = - \oint_L [\vec{A}(\vec{r}) \times d\vec{r}]$$

132. Դիցուք $f(\vec{a}, \vec{r})$ -ը դիֆերենցիալի ֆունկցիա է \vec{r} -ից և բավարարում է

$$f(c_1 \vec{a}_1 + c_2 \vec{a}_2, \vec{r}) = c_1 f(\vec{a}_1, \vec{r}) + c_2 f(\vec{a}_2, \vec{r})$$

պայմանին, որտեղ c_1 և c_2 -ը կամայական հաստատուններ են: Ապացուցել, որ եթե V -ն կամայական ծավալ է, S -ը այն սահմանափակող մակերևույթը, իսկ \hat{n} -ը այդ մակերևույթի արտաքին նորմալի օրթն է, ապա տեղի ունի Գուսսի-Օստրոգրադսկու ընդհանրացված թեորեմը.

$$\oint_S f(\hat{n}, \vec{r}) d\vec{S} = \iiint_V f(\vec{\nabla}, \vec{r}) dV$$

Ենթահետևյալ $f(\vec{\nabla}, \vec{r})$ ֆունկցիայի մեջ փոխարինելով օպերատորը ազդում է \vec{r} -ի վրա և գտնվում է բոլոր ֆոֆոնականներից ավելի ձախ:

Ց ու լ գ ու մ . \hat{n} -ը վերլուծել ըստ դեկարտյան կոորդինատական օրթերի և օգտվել Գուսսի-Օստրոգրադսկու թեորեմից

$$\iiint_V \frac{\partial \varphi}{\partial x} dV = \oint_S \varphi \hat{n}_x dS$$

133. Օգտվելով նախորդ խնդրում ապացուցած Գուսսի-Օստրոգրադսկու ընդհանրացված թեորեմից, լուծել 120 և 121 խնդիրները :

134. $\oint_L \varphi d\vec{r}$ ֆակ եզրագծով իտեղծված ձևափոխել այդ եզրագծի վրա հեռված մակերևույթով իտեղծված:

135. $\oint_L \varphi d\vec{\psi}$ ֆակ եզրագծով իտեղծված ձևափոխել այդ եզրագծի վրա հեռված մակերևույթով իտեղծված, եթե φ -ն և $\vec{\psi}$ -ն կոորդինատ-

ների սկալյար ֆունկցիաներ են.

136. Ապացուցել նույնությունը.

$$\iiint_V (\vec{A} \cdot \text{rot rot } \vec{B} - \vec{B} \cdot \text{rot rot } \vec{A}) dV = \oint_S (\vec{B} \times \text{rot } \vec{A} - \vec{A} \times \text{rot } \vec{B}) d\vec{S};$$

137. V ծավալի ներսում \vec{A} վեկտորը բավարարում է $\text{div } \vec{A} = 0$ պայմանին, իսկ այդ ծավալը սահմանափակող S մակերևույթի վրա նրա նորմալ բաղադրիչը զրո է ($A_n = 0$) Ապացուցել, որ $\iiint_V \vec{A} dV = 0$:

138. Ապացուցել, որ $\text{div}_R \iiint_V \frac{\vec{A}(\vec{r}) dV}{|\vec{R} - \vec{r}|} = 0$, որտեղ $\vec{A}(\vec{r})$ -ը նախորդ խնդրում սահմանված վեկտորն է:

2.7. Լապլասի օպերատորը: Լապլասյան դաշտեր

Պաշտերի գրադիենտը, դիվերգենցիան և ռոտորը գտնելու գործողությունները կարելի է անվանել առաջին կարգի դիֆերենցիալ գործողություններ: Երկրորդ կարգի դիֆերենցիալ գործողություններից ֆիզիկայում առավել մեծ կիրառություն ունի նաբլա օպերատորի սկալյար քառակուսին, այսինքն

$$\vec{\nabla} \cdot \vec{\nabla} = \nabla^2 = \frac{\partial^2}{\partial x^2} + \frac{\partial^2}{\partial y^2} + \frac{\partial^2}{\partial z^2} = \frac{\partial^2}{\partial x_i \partial x_i} \quad /2.44/$$

որն ստացել է Լապլասի օպերատոր կամ Լապլասիան անվանումը և նշանակվում է Δ սիմվոլով:

Գլանային կոորդինատային համակարգում Լապլասի օպերատորը արվում է

$$\Delta = \frac{1}{\rho} \frac{\partial}{\partial \rho} \left(\rho \frac{\partial}{\partial \rho} \right) + \frac{1}{\rho^2} \frac{\partial^2}{\partial \alpha^2} + \frac{\partial^2}{\partial z^2} \quad /2.45/$$

արտահայտվում է, իսկ գնդային համակարգում՝

$$\Delta = \frac{1}{r^2} \frac{\partial}{\partial r} \left(r^2 \frac{\partial}{\partial r} \right) + \frac{1}{r^2 \sin^2 \vartheta} \frac{\partial}{\partial \vartheta} \left(\sin^2 \vartheta \frac{\partial}{\partial \vartheta} \right) + \frac{1}{r^2 \sin^2 \vartheta} \frac{\partial^2}{\partial \alpha^2} \quad /2.46/$$

Լապլասի սիմվոլիկ օպերատորը կարող է կիրառվել ինչպես $\varphi(M)$ սկալյար դաշտի, այնպես էլ $\vec{A}(M)$ վեկտորական դաշտերի վրա: Այդ կիրառությունն առկա հասկացվում են հետևյալ հավասարությունները՝

$$\Delta \varphi = \vec{\nabla} \cdot (\vec{\nabla} \varphi) = \frac{\partial^2 \varphi}{\partial x^2} + \frac{\partial^2 \varphi}{\partial y^2} + \frac{\partial^2 \varphi}{\partial z^2} \quad /2.47/$$

և

$$\Delta \vec{A} = \Delta A_x \hat{e}_x + \Delta A_y \hat{e}_y + \Delta A_z \hat{e}_z : /2.47/$$

\vec{A} վեկտորական դաշտը կոչվում է լապլասյան, եթե նա միաժամանակ պոտենցիալային է և սոլենոիդային: Պոտենցիալայնությունից հետևում է, որ \vec{A} դաշտի համար գոյություն ունի այնպիսի φ սկալյար դաշտ, որ $\vec{A} = \text{grad} \varphi$: Սոլենոիդային լինելը նշանակում է $\text{div} \vec{A} = 0$ պայմանի բավարարվածություն: Հետևաբար, լապլասյան դաշտերի համար

$$\text{div} \text{grad} \varphi = 0,$$

կամ լապլասի օպերատորի միջոցով

$$\Delta \varphi = 0 : /2.48/$$

ի տարբերություն կամայական \vec{A} վեկտորական դաշտի, որը որոշվում է երեք սկալյար մեծություններով, լապլասյան վեկտորական դաշտը որոշվում է մեկ սկալյար ֆունկցիայի օգնությամբ, այն է՝ φ պոտենցիալի օգնությամբ, որը լապլասի $\Delta \varphi = 0$ հավասարման լուծումն է:

Մինչև երկրորդ կարգի անընդհատ մասնական ածանցյալներ ունեցող φ սկալյար ֆունկցիան, որը բավարարում է լապլասի /2.48/ հավասարմանը, կոչվում է հարմոնիկ ֆունկցիա:

Լապլասյան վեկտորական դաշտի օրինակ է նյութական կեֆի զրավիտացիոն դաշտը ($\vec{F} = -Gm\vec{r}/r^3$), որը պոտենցիալային է և ունի $\varphi = Gm/r$ պոտենցիալ: Քանի որ $\varphi = Gm/r$ ֆունկցիան հարմոնիկ է ամբողջ տարածությունում, քաղցրություն $r = 0$ կետի, ուստի զրավիտացիոն դաշտը լապլասյան դաշտ է ամենուրեք, քաղցրությամբ $r = 0$ կետի:

Միակապ տիրույթում տրված \vec{A} լապլասյան դաշտի համար, ինչպես այդ հետևում է սահմանումից, միաժամանակ բավարարվում են

$$\text{div} \vec{A} = 0, \quad \text{rot} \vec{A} = 0 \quad /2.49/$$

հավասարությունները:

139. Ցույց տալ, որ $\Delta(\varphi\psi) = \varphi\Delta\psi + \psi\Delta\varphi + 2\vec{\nabla}\varphi \cdot \vec{\nabla}\psi$

140. Ցույց տալ, որ եթե \vec{r} -ը շառավիղ վեկտորն է, ապա $\Delta r = 2/r$:

141. Պարզել, թե հետևյալ սկալյար դաշտերից որոնք են հարմոնիկ.

ա/ $\varphi = x^2 + 2xy - y^2$

բ/ $\varphi = x^2y + y^2z + z^2x$,

գ/ $\varphi = x^2 - y^2$

142. Գտնել սկալյար ֆունկցիայի համար Լապլասի հավասարման ընդհանուր լուծումը, որը կախված է միայն ա/ z , բ/ ϑ , գ/ α զնդային կոորդինատներից:

143. Գտնել սկալյար ֆունկցիայի համար Լապլասի հավասարման ընդհանուր լուծումը, որը կախված է միայն ա/ ρ , բ/ α , գ/ z զլանային կոորդինատներից:

144. Գտնել բոլոր հարմոնիկ դաշտերը, որոնք կախված են միայն x կոորդինատից:

145. Գտնել Պուասսոնի $\Delta\varphi = \tau^{n-1}$ հավասարման ընդհանուր լուծումը զնդային կոորդինատական համակարգում, եթե $\varphi = \varphi(\tau)$:

146. Ցույց տալ, որ եթե ψ սկալյար ֆունկցիան $\Delta\psi + \kappa^2\psi = 0$ հավասարման լուծումն է, իսկ $\vec{\alpha}$ -ն հաստատուն վեկտոր է, ապա $\vec{L} = \text{grad}\psi$, $\vec{M} = \text{rot}(\vec{\alpha}\psi)$ և $\vec{N} = \text{rot}\vec{M}$ վեկտորական դաշտերը բավարարում են $\Delta\vec{A} + \kappa^2\vec{A} = 0$ հավասարմանը:

Հ ա վ ե լ վ ա ծ
Դ ի ր ա կ ի ծ - Ֆ ո ռ ն ս Կ Յ Ի Ա Ն

Դիրակի δ -ֆունկցիան /դելտա-ֆունկցիան/ սահմանվում է

$$\int_a^b f(x) \delta(x - x_0) dx =$$

$$= \begin{cases} f(x_0), & \text{եթե } a < x_0 < b, \\ 1/2 f(x_0), & \text{եթե } x_0 = a \text{ կամ } x_0 = b, \quad (a < b) \\ 0, & \text{եթե } x_0 < a \text{ կամ } x_0 > b \end{cases} \quad /2.1/$$

պայմանի միջոցով, որտեղ $f(x)$ -ը կամայական ֆունկցիա է, որն անընդհատ է x_0 կետում:

Այս սահմանումից հետևում է, որ Դիրակի δ -ֆունկցիայի համար սեղի ունեն

$$\delta(x - x_0) = 0 \quad (x \neq x_0), \quad /2.2/$$

$$\int_a^b \delta(x - x_0) dx = \begin{cases} 1, & \text{եթե } a < x_0 < b, \\ 1/2, & \text{եթե } x_0 = a \text{ կամ } x_0 = b, \quad (a < b) \\ 0, & \text{եթե } x_0 < a \text{ կամ } x_0 > b \end{cases} \quad /2.3/$$

առնչությունները: Համախ որպես $\delta(x)$ ֆունկցիայի սահմանում օգտագործվում են /2.2/ և /2.3/ պայմանները:

Եշտենք, որ Դիրակի $\delta(x)$ ֆունկցիան ֆունկցիա չէ սովորական իմաստով, այլ սիմվոլիկ ֆունկցիա է, որը խաղում է $\int \mathcal{X}(x, x_0) f(x) dx = f(x_0)$ գծային ինտեգրալ ձևափոխության կորիզի դեր և ձևականորեն իրականացնում է $f(x) \rightarrow f(x_0)$ ձևափոխությունը:

Եռաչափ δ -ֆունկցիան սահմանվում է

$$\delta(\vec{z} - \vec{z}_0) = \delta(x - x_0) \delta(y - y_0) \delta(z - z_0) \quad /2.4/$$

անչուծյամբ և բավարարում է

$$\int_V f(\vec{r}) \delta(\vec{r} - \vec{r}_0) dV = \begin{cases} f(\vec{r}_0), & \text{եթե } \vec{r}_0 \in V \\ 0 & \text{եթե } \vec{r}_0 \notin V \end{cases} \quad /2.5/$$

պայմանին:

Կարելի է բազմաթիվ օրինակներ բերել, երբ ֆիզիկական այս կամ այն մեծությունն արտահայտվում է Դիրաչի δ -ֆունկցիայի օգնությամբ: Այդպիսի մեծություններից են \vec{r}_0 կետում տեղավորված e կետային լիցքի

$$\rho = e \delta(\vec{r} - \vec{r}_0) \quad /2.6/$$

խտությունը և $\vec{r}_0(t)$ օրենքով շարժվող e կետային լիցքի

$$j = e \dot{\vec{r}}_0(t) \delta(\vec{r} - \vec{r}_0(t)) \quad /2.7/$$

հասանքի խտությունը:

Դիրաչի դելտա-ֆունկցիայի τ -րդ կարգի տեսնցյալը սահմանվում է

$$\int_a^b f(x) \delta^{(\tau)}(x - x_0) dx = \begin{cases} (-1)^\tau f^{(\tau)}(x_0), & \text{եթե } a < x_0 < b \\ 1/2 (-1)^\tau f^{(\tau)}(x_0), & \text{եթե } x_0 = a \text{ կամ } x_0 = b \text{ (} a < b \text{)} \\ 0, & \text{եթե } x_0 < a \text{ կամ } x_0 > b \end{cases} \quad /2.8/$$

անչուծյան միջոցով, որտեղ $f(x)$ -ը կամայական ֆունկցիա է, որը անընդհատ է x_0 կետում:

$\delta^{(\tau)}(x)$ ֆունկցիայի համար կարելի է գրել

$$\delta^{(\tau)}(x) = (-1)^\tau \tau! \frac{\delta(x)}{x^\tau} \quad (\tau = 0, 1, \dots) \quad /2.9/$$

սիմվոլիկ արտահայտությունը:

Չնայած նշգրտորեն /2.1/ հասկություններով օժտված ֆունկցիաներ գոյություն չունեն, սակայն $\delta(x)$ ֆունկցիան կարելի է ներկայացնել սովորական ֆունկցիաների սահմանային ֆունկցիայի տեսքով:

Դիրակի δ - ֆունկցիայի վերը նշված եղանակով ստացվող բացահայտ ներկայացումները, ինչպես նաև նրա այլ հասկոթյուններ ստորև ձևակերպված են որպես ինքնուրույն խնդիրներ:

147. Ապացուցել δ - ֆունկցիայի հետևյալ հասկոթյունները.

ա/ $\delta(-x) = \delta(x)$

բ/ $\delta(ax) = \frac{1}{|a|} \delta(x)$

գ/ $\delta(x^2 - a^2) = \frac{1}{2|a|} \{ \delta(x+a) + \delta(x-a) \}$

148. Դիցուք $f(x)$ -ը միարժեք դիֆերենցելի ֆունկցիա է: Ապացուցել, որ սեղի ունի

$$\delta(f(x)) = \sum_{k=1}^n \frac{\delta(x-x_k)}{|f'(x_k)|}$$

ստանդարտները, որտեղ x_1, x_2, \dots, x_n մեծոթյունները $f(x) = 0$ հավասարման արմատներն են:

149. Ցույց սալ, որ $\varphi(x) = \begin{cases} 1 & x > 0 \\ 0 & x < 0 \end{cases}$ ֆունկցիայի անսոցյալը

Դիրակի δ - ֆունկցիան է՝ $\varphi'(x) = \delta(x)$:

150. Ցույց սալ, որ Դիրակի $\delta(x)$ ֆունկցիայի համար իրավացի են հետևյալ սահմանային ներկայացումները.

ա/ $\frac{1}{\pi} \lim_{\epsilon \rightarrow 0} \frac{\epsilon}{\epsilon^2 + x^2} = \delta(x)$

բ/ $\frac{1}{\sqrt{\pi}} \lim_{L \rightarrow \infty} L e^{-L^2 x^2} = \delta(x)$

գ/ $\frac{1}{\pi} \lim_{L \rightarrow \infty} \frac{\sin Lx}{L} = \delta(x)$

դ/ $\frac{1}{\pi} \lim_{L \rightarrow \infty} \frac{\sin^2 Lx}{Lx^2} = \delta(x)$

151. Ապացուցել նույնությունները.

ա/ $\delta'(-x) = -\delta'(x)$

բ/ $x \delta(x) = 0$,

գ/ $x \delta'(x) = -\delta(x)$

152. Ապացուցել, որ δ - ֆունկցիայի համար տեղի ունի

$$\frac{1}{(2\pi)^3} \int e^{i\vec{k}\vec{z}} d^3k = \delta(\vec{z})$$

ինտեգրալ ներկայացումը:

153. Գրել $\delta(\vec{z} - \tau_0) = \delta(x - x_0) \delta(y - y_0) \delta(z - z_0)$ Գիրակի եռա-
չափ ֆունկցիայի տեսքը գնդային և գլանային կոորդինատական հա-
մակարգերում:

154. Ապացուցել, որ եթե \vec{z}' -ը շառավիղ-վեկտորն է, ապա տեղի ունի

$$\Delta \frac{1}{r} = -4\pi \delta(\vec{z})$$

հավասարումը:

155. Ցույց առաւ, որ $\vec{A} + \frac{1}{4\pi} \int \frac{\text{div} \vec{A}(\vec{z}')}{|\vec{z} - \vec{z}'|} dV'$ վեկտորական

դաշտի դիվերգենցիան հավասար է զրոյի:

ԳԱՏԱՍԹԱՆՆԵՐ ԵՎ ԼՈՒՈՒՊՄՆԵՐ

Գլուխ 1. ԹՆՆՁՈՐՄԱՆ ՀԱՇԻՎ

§ 1. Հիմնական սեղեկություններ վեկտորական ֆունկցիոնալից: Կոորդինատական համակարգեր: Օրթոգոնալ ձևափոխություններ

5. $\cos \vartheta = \vec{n} \cdot \vec{n}' = \cos \vartheta \cos \vartheta' + \sin \vartheta \sin \vartheta' \cos(\alpha - \alpha')$:

6. $\vec{a} \cdot \vec{b} = -a_x b_x - a_y b_y + a_z b_z$,

$(\vec{a} \times \vec{b})_0 = i(a_x b_x - a_y b_y)$, $(\vec{a} \times \vec{b})_{\pm} = \pm i(a_x b_{\pm} - a_{\pm} b_x)$:

7. $\{\hat{e}_1, \hat{e}_2, \hat{e}_3\}$ բազիսից $\{\hat{e}'_1, \hat{e}'_2, \hat{e}'_3\}$ նոր բազիսի անցնելու ձևափոխություններն ունեն $\hat{e}'_i = \alpha_{ik} \hat{e}_k$ տեսքը, որտեղ α_{ik} գործակիցները որոշվում են $\alpha_{ik} = \hat{e}'_i \cdot \hat{e}_k$ սկալյար արտադրյալներով, այսինքն իրենցից ներկայացնում են հին օրթերի պրոյեկցիաները նոր օրթերի ուղղություններով: Գնդային կոորդինատական համակարգի $\hat{e}_r, \hat{e}_\theta, \hat{e}_\phi$ օրթերը պրոյեկտելով $\hat{e}_x, \hat{e}_y, \hat{e}_z$ դեկարտյան օրթերի ուղղություններով /Ա.Յգ/, կստանանք դեկարտյան կոորդինատական համակարգից գնդայինի անցնելու մատրիցը.

$$\hat{\alpha} = \begin{pmatrix} \sin \vartheta \cos \alpha & \sin \vartheta \sin \alpha & \cos \vartheta \\ \cos \vartheta \cos \alpha & \cos \vartheta \sin \alpha & -\sin \vartheta \\ -\sin \alpha & \cos \alpha & 0 \end{pmatrix}:$$

Հակադարձ ձևափոխության մատրիցը կլինի

$$\hat{\alpha}^{-1} = \begin{pmatrix} \sin \vartheta \cos \alpha & \cos \vartheta \cos \alpha & -\sin \alpha \\ \sin \vartheta \sin \alpha & \cos \vartheta \sin \alpha & \cos \alpha \\ \cos \vartheta & -\sin \vartheta & 0 \end{pmatrix}:$$

Դեկարտյան կոորդինատներից գնդայինի և հակադարձ անցնելու դեպքում ֆունկցիոնալները կունենանք /Ա.Յգ/

$$\hat{\alpha} = \begin{pmatrix} \cos \alpha & \sin \alpha & 0 \\ -\sin \alpha & \cos \alpha & 0 \\ 0 & 0 & 1 \end{pmatrix} \quad \text{և} \quad \hat{\alpha}^{-1} = \begin{pmatrix} \cos \alpha & -\sin \alpha & 0 \\ \sin \alpha & \cos \alpha & 0 \\ 0 & 0 & 1 \end{pmatrix}:$$

8. \vec{A} վեկտորի բաղադրիչները հին (A_k) և նոր (A'_i) կոորդինատային համակարգերում իրար հետ կապված են $A'_i = g'_{ik} A_k$ մեափոխություններով, որտեղ

$$w/ \hat{g}_- = \begin{pmatrix} -1 & 0 & 0 \\ 0 & -1 & 0 \\ 0 & 0 & -1 \end{pmatrix} \quad e/ \hat{g}(\alpha) = \begin{pmatrix} \cos \alpha & \sin \alpha & 0 \\ -\sin \alpha & \cos \alpha & 0 \\ 0 & 0 & 1 \end{pmatrix} :$$

9. Օգտվելով նախորդ խնդրի բ/ դեպքի արդյունքից, կստանանք $\hat{g}(\psi, \vartheta, \varphi) = \hat{g}(\varphi) \hat{g}(\vartheta) \hat{g}(\psi) =$

$$= \begin{pmatrix} \cos \psi \cos \varphi - \cos \vartheta \sin \psi \sin \varphi & \sin \psi \cos \varphi + \cos \vartheta \sin \psi \sin \varphi & \sin \vartheta \sin \varphi \\ -\cos \psi \sin \varphi - \cos \vartheta \sin \psi \cos \varphi & -\sin \psi \sin \varphi + \cos \vartheta \cos \psi \cos \varphi & \sin \vartheta \cos \varphi \\ \sin \vartheta \sin \psi & -\sin \vartheta \cos \psi & \cos \vartheta \end{pmatrix} :$$

10. Քանի որ պտույտի մեափոխության մաթրիցն անընդհանուր է անկյուններից / սես 8 բ և 9 խնդրների պատասխանները / և զրո անկյունով պտույտի դեպքում հավասար է $\hat{1}$ -ի, ուստի փոքր անկյուններով պտույտների համար $\hat{\alpha} = \hat{1} + \hat{\epsilon}$, որտեղ $|\epsilon_{ik}| \ll 1$: ϵ_{ik} -ի հակահամաչափությունը ապացուցելու համար օգտվենք τ^2 մեծությունից: Քանի որ $x'_i = x_i + \epsilon_{ik} x_k$, ապա

$$x_i'^2 = x_i^2 + 2 \epsilon_{ik} x_i x_k + \epsilon_{ik} \epsilon_{im} x_k x_m$$

Արհամարհելով ϵ_{ik} -ի նկատմամբ երկրորդ կարգի անվերջ փոքր անդամները, կստանանք $\tau'^2 = \tau^2 + 2 \epsilon_{ik} x_i x_k$, որտեղից հետևում է, որ $\epsilon_{ik} x_i x_k = 0$ կամայական x_i -ի համար: Դա հնարավոր է միայն այն դեպքում, եթե $\epsilon_{ik} = -\epsilon_{ki}$: ϵ_{ik} հակահամաչափ մաթրիցի փոխարեն կարելի է մտցնել նրան համապատասխանող անվերջ փոքր $\delta \vec{\varphi}$ վեկտոր, որի հետ ϵ_{ik} -ն կապված է $\epsilon_{ik} = \epsilon_{i\ell} \delta \varphi_\ell$ / կամ $\delta \varphi_\ell = 1/2 \epsilon_{lik} \epsilon_{ik}$ / առնչությամբ, որտեղ $\epsilon_{i\ell}$ -ը Լևի-Չիվիտի սիմվոլն է: Հաշվի առնելով այս հանգամանքը, կունենանք $x'_i = x_i + \epsilon_{ik} x_k \delta \varphi_\ell$, կամ վեկտորական տեսքով՝ $\vec{x}' = \vec{x} + \vec{x} \times \delta \vec{\varphi}$, որտեղից երևում է, որ $\delta \vec{\varphi}$ -ն անվերջ փոքր պտույտի անկյան վեկտորն է:

11. Դիցուք $\hat{\alpha}$ -ն մեափոխության մաթրիցն է: Օրթոգոնալության $\alpha_{ik} \alpha_{im} = \delta_{km}$ պայմանը գրելով $\hat{\alpha} \hat{\alpha}^{-1} = \hat{1}$ մաթրիցական տեսքով, կունենանք $\det(\hat{\alpha} \hat{\alpha}) = 1$, որտեղից կհետևի, որ $\det(\hat{\alpha} \hat{\alpha}) = \det \hat{\alpha} \cdot \det \hat{\alpha} = (\det \hat{\alpha})^2 = 1$

Այսպիսով $\det \hat{\alpha} = 1$

Ապացուցենք, որ պտույանների ձևափոխության դեպքում $\det \hat{\alpha} = +1$:
 հորք, $\det \hat{\alpha}$ -ն պատման անկյան անընդհատ փոփոխության է, որը պտույանի անկյան զրո արժեքի դեպքում /նույնական ձևափոխություններ/ ունի $+1$ արժեք: Հետևաբար, վերջավոր անկյունով պտույանի դեպքում ևս սեղի կունենա $\det \hat{\alpha} = +1$ առնչությունը -1 արժեք ընդունելու դեպքում $\det \hat{\alpha}$ փոփոխության անպայման իրագործում կունենա/:

Կոորդինատական առանցքների արտացոլմանը համապատասխանող $\hat{\alpha}$ մատրիցը կլինի անկյունագծային, որը կունենա $+1$ կամ -1 անկյունագծային տարրեր՝ կախված այն բանից, թե տվյալ կոորդինատական առանցքը արտացոլվել է (-1) , թե ոչ $(+1)$: Այնպես որ դետերմինանտը կլինի $\det \hat{\alpha} = (-1)^{\tau}$, որտեղ τ -ը արտացոլված կոորդինատական առանցքների թիվն է: Հասկանալի է, որ $\det \hat{\alpha} = +1$ ՝ զույգ թվով առանցքների արտացոլման դեպքում և $\det \hat{\alpha} = -1$ ՝ կենս թվով առանցքների արտացոլման դեպքում:

17ա/օ. Դետերմինանտի սահմանման համաձայն $\det \hat{a} = \sum (-1)^{\tau \{i, j, k\}} a_{i1} a_{j2} a_{k3}$, որտեղ $\tau \{i, j, k\}$ -ը i, j, k եռյակի խախտումների թիվն է 1, 2, 3 հաջորդականության համեմատությամբ: Լեի-2րվիտի սիմվոլի օգնությամբ այն կներկայացվի $\det \hat{a} = \epsilon_{ijk} a_{i1} a_{j2} a_{k3}$ տեսքով, որտեղից ելնում է, որ $\epsilon_{ijk} a_{ip} a_{jq} a_{kr} = \epsilon_{pqr} \det \hat{a}$: Եթե այժմ բազմապատկենք ստացված արտահայտությունը ϵ_{pqr} -ով և զուգորենք p, q, r ինդեքսներով, հաշվի առնելով, որ $\epsilon_{pqr} \epsilon_{pqr} = 3!$, ապա կստանանք $\det \hat{a} = 1/3! \epsilon_{ijk} \epsilon_{pqr} a_{ip} a_{jq} a_{kr}$

$$\begin{aligned}
 p/ \text{ Հանրահաշվական լրացման սահմանումից } A_{mn} &= \frac{\partial \det \hat{a}}{\partial a_{mn}} = \\
 &= 1/3! \epsilon_{ijk} \epsilon_{pqr} \left[a_{jq} a_{kr} \frac{\partial a_{ip}}{\partial a_{mn}} + a_{ip} a_{kr} \frac{\partial a_{jq}}{\partial a_{mn}} + a_{ip} a_{jq} \frac{\partial a_{kr}}{\partial a_{mn}} \right] = \\
 &= 1/3! \epsilon_{ijk} \epsilon_{pqr} \left[a_{jq} a_{kr} \delta_{im} \delta_{pn} + a_{ip} a_{kr} \delta_{jm} \delta_{qr} + a_{ip} a_{jq} \delta_{km} \delta_{in} \right] = \\
 &= 1/2! \epsilon_{ijk} \epsilon_{pqr} a_{jq} a_{kr}:
 \end{aligned}$$

$$\begin{aligned}
 18. (\vec{a} \cdot \vec{a}')(\vec{b} \cdot \vec{b}')(\vec{c} \cdot \vec{c}') + (\vec{a} \cdot \vec{b}')(\vec{b} \cdot \vec{c}')(\vec{c} \cdot \vec{a}') + (\vec{b} \cdot \vec{a}')(\vec{c} \cdot \vec{b}')(\vec{a} \cdot \vec{c}') - \\
 - (\vec{a} \cdot \vec{c}')(\vec{c} \cdot \vec{a}')(\vec{b} \cdot \vec{b}') - (\vec{a} \cdot \vec{b}')(\vec{b} \cdot \vec{a}')(\vec{c} \cdot \vec{c}') - (\vec{b} \cdot \vec{c}')(\vec{c} \cdot \vec{b}')(\vec{a} \cdot \vec{a}'):
 \end{aligned}$$

19. • $d^2 \vec{r} / dt^2 = \vec{r} f(r)$ հավասարման երկու կողմերը վեկտորային բազմապատկելով \vec{r} վեկտորով, կունենանք

$$\vec{r} \times \frac{d^2 \vec{r}}{dt^2} = \vec{r} \times \vec{r} f(r) = 0:$$

Հաշվի առնելով, որ $\vec{r} \times \frac{d^2\vec{r}}{dt^2} = \frac{d}{dt} \left(\vec{r} \times \frac{d\vec{r}}{dt} \right)$, կստանանք
 $\vec{r} \times \frac{d\vec{r}}{dt} = \vec{\ell} = \text{const.}$:

20. Նյուտոնի երկրորդ օրենքի համաձայն ուժը հավասար է $\vec{F} = m d\vec{v}/dt$: Եթե այն ուղղված է հեռագծի շոշափողի ուղղությամբ, ապա զուգահեռ կլինի նաև արագության վեկտորին, այսինքն՝

$$\frac{d\vec{v}}{dt} = \alpha \vec{v}$$

Համեմատականության α գործակիցը ընդհանուր դեպքում ժամանակի ֆունկցիա է: Այս հավասարման լուծումը կլինի $\vec{v} = \vec{C} \varphi(t)$, որտեղ \vec{C} -ն հաստատուն վեկտոր է, իսկ $\varphi(t)$ ֆունկցիան $\dot{\varphi} - \alpha(t)\varphi = 0$ հավասարման լուծումն է: Ինտեգրելով մեկ անգամ ևս, կստանանք $\vec{r} = \vec{C} f(t) + \vec{B}$, որտեղ \vec{B} -ն հաստատուն վեկտոր է, իսկ $f(t)$ -ն $\dot{f} - \alpha(t)f = 0$ հավասարման լուծումն է: $\vec{r} = \vec{C} f(t) + \vec{B}$ հավասարումից երևում է, որ նյութական կետի հեռագիծը \vec{C} հաստատուն վեկտորի ուղղությամբ ունեցող ուղիղ գիծ է:

21. Նյութական կետի շարժման հավասարումը այս դեպքում ունի $d\vec{v}/dt = -\alpha \vec{r}/r^3$ տեսքը, որտեղ $\alpha = \text{const.}$, $\vec{v} = d\vec{r}/dt$ -ն արագության վեկտորն է, իսկ \vec{r} -ը՝ շոշավիղ վեկտորը:

Բազմապատկելով այս հավասարումը վեկտորապես \vec{r} -ով և ինտեգրելով ըստ t -ի, կստանանք $\vec{r} \times \vec{v} = \vec{\ell} = \text{const}$: Շարժման $\vec{\ell}$ ինտեգրալը ներկայացնելով $\vec{\ell} = \vec{r} \times \vec{v} = r \hat{n} \times d\vec{r}\hat{n}/dt = r^2 \hat{n} \times d\hat{n}/dt$ տեսքով, որտեղ $\hat{n} = \vec{r}/r$ շոշավիղային ուղղության միավոր վեկտորն է, և հաշվի առնելով, որ $\hat{n} \cdot d\hat{n} = 1/2 d\hat{n}^2$, կունենանք

$$\frac{d\vec{r}}{dt} \times \vec{\ell} = -\frac{\alpha}{r^2} \hat{n} \times \vec{\ell} = -\alpha \hat{n} \times (\hat{n} \times \frac{d\hat{n}}{dt}) = \alpha \frac{d\hat{n}}{dt}$$

Զանր որ $\vec{\ell} = \text{const.}$, ապա $\alpha \frac{d\hat{n}}{dt} = \frac{d}{dt} (\vec{v} \times \vec{\ell})$, և, հետևաբար,

$$\vec{v} \times \vec{\ell} = \alpha \hat{n} + \vec{P}$$

որտեղ \vec{P} -ն հաստատուն վեկտոր է: Այստեղից կունենանք

$$(\vec{v} \times \vec{\ell}) \cdot \vec{r} = \alpha r + P r \cos \vartheta$$

որտեղ ϑ -ն \vec{r} շոշավիղ վեկտորի կազմած անկյունն է \vec{P} հաստատուն վեկտորի հետ: Նկատելով, որ $(\vec{v} \times \vec{\ell}) \cdot \vec{r} = (\vec{r} \times \vec{v}) \cdot \vec{\ell} = \ell^2$, վերջնականապես կստանանք

$$\vec{r} = \frac{\ell^2/\alpha}{1 + \frac{P}{\alpha} \cos \vartheta}$$

որը, ինչպես հայտնի է վերլուծական երկրաչափության դասընթացից, իրենից ներկայացնում է կոնական հատույթի /էլիպս, պարաբոլա, հիպերբոլա/ հավասարումը քեռային կոորդինատներով:

§ 2. Թենզորի հասկացությունը և նրա բաղադրիչները
ձևափոխության օրենքը

22. Քանի որ $\{b_i\}$ -ն վեկտոր է, ապա կոորդինատների համակարգի պտույտների ժամանակ նրա բաղադրիչները կձևափոխվեն $b'_x = \alpha_{ix} b_i$ օրենքով: Տեղադրելով b_x -ն $\alpha_x b_x = \alpha'_i b'_i = inv$: ինվարիանտություն պայմանի մեջ, կստանանք $\alpha_{ix} \alpha_x b'_i = \alpha'_i b'_i$: Այստեղից հետևվում է, որ $\alpha'_i = \alpha_{ix} \alpha_x$, այսինքն $\{\alpha_i\}$ համախումբը պտույտների ժամանակ ձևափոխվում է որպես վեկտոր:

Արտացոլման ձևափոխության ժամանակ b_i բաղադրիչները ձևափոխվում են $b'_i = (-1)^q b_i$ օրենքով, որտեղ $q = 1$, եթե b_i -ն քեռային վեկտոր է, և $q = 0$, եթե b_i -ն փակղովեկտոր է:

$\alpha_i b_i = \alpha'_i b'_i = inv$: պայմանից կունենանք $(-1)^q \alpha'_i b_i = \alpha_i b_i$, այսինքն $\alpha'_i = (-1)^q \alpha_i$: շեռեաբար α_i -ն և b_i -ն կամ երկուսն էլ քեռային վեկտորներ են, կամ փակղովեկտորներ:

30. Երկրորդ կարգի S_{ik} համաչափ թենզորի երկրաչափական պատկերը $S_{ik} x_i x_k = 1$ էլիպտիդն է, որը կամայական ձևով կողմնորոշված է x_1, x_2, x_3 առանցքների նկատմամբ: Եթե a, b, c -ն էլիպտիդի կիսաառանցքներն են x_1, x_2, x_3 առանցքների ուղղություններով, ապա $x_2 = x_3 = 0$ դեպքում կունենանք $x_1 = a$ և $S_{ik} a^2 = 1$, որտեղից $a = 1/\sqrt{S_{11}}$: նման ձևով կստանանք $b = 1/\sqrt{S_{22}}$ և $c = 1/\sqrt{S_{33}}$

S_{ik} թենզորի առաջին ինվարիանտը՝

$$I_1 = Sp \hat{S} = S_{11} + S_{22} + S_{33} = \frac{1}{a^2} + \frac{1}{b^2} + \frac{1}{c^2} = inv.$$

Այսպիսով, թենզորական էլիպտիդի երեք փոխոլղահայաց կիսաառանցքների քառակուսիների հակադարձների զումարը կախված չէ կոորդինատական համակարգի կողմնորոշումից և իրենից ներկայացնում է թենզորի առաջին կամ գծային ինվարիանտը:

Երկրորդ կամ քառակուսային ինվարիանտը որոշվում է

$$I_2 = \det \begin{pmatrix} S_{11} & S_{12} \\ S_{21} & S_{22} \end{pmatrix} + \det \begin{pmatrix} S_{22} & S_{23} \\ S_{32} & S_{33} \end{pmatrix} + \det \begin{pmatrix} S_{11} & S_{13} \\ S_{31} & S_{33} \end{pmatrix}$$

առնչութեամբ: Պարզենք վերջինիս երկրաչափական իմաստը: Թենզորա-
կան էլիպսոիդի $x_3 = 0$ էլիպսական հատույթի հավասարումը կունենա
 $S_{11} x_1^2 + 2 S_{12} x_1 x_2 + S_{22} x_2^2 = 1$ տեսքը: Այդ էլիպսի զլխավոր կիս-
առանցքները կլինեն $1/\sqrt{\chi_1}$ և $1/\sqrt{\chi_2}$, որտեղ χ_1 և χ_2 -ը.

$$\det \begin{pmatrix} S_{11} - \lambda & S_{12} \\ S_{21} & S_{22} - \lambda \end{pmatrix} = 0$$

հավասարման լուծումներն են, այսինքն որ $\chi_1, \chi_2 = \det \begin{pmatrix} S_{11} & S_{12} \\ S_{21} & S_{22} \end{pmatrix}$

Այդ հատույթի մակերեսը կլինի $\sigma_3 = \pi/\sqrt{\chi_1 \chi_2}$: Նման ձևով $x_1 = 0$ և
 $x_2 = 0$ հարթութիւնները էլիպսոիդից կհատեն համապատասխանա-
բար $\sigma_1 = \pi/\sqrt{\chi_2 \chi_3}$ և $\sigma_2 = \pi/\sqrt{\chi_1 \chi_3}$ մակերեսներ ունեցող էլիպսներ:
Հետևաբար

$$I_2 = \chi_2 \chi_3 + \chi_1 \chi_3 + \chi_1 \chi_2 = \pi^2 \left(\frac{1}{\sigma_1^2} + \frac{1}{\sigma_2^2} + \frac{1}{\sigma_3^2} \right) = inv:$$

Այսպիսով, թենզորական էլիպսոիդի կենտրոնով անցնող երեք փոխուղ-
ղահայաց կոորդինատական հարթութիւնների հատույթից առաջացած էլիպ-
սների մակերեսների քառակուսիների հակադարձների գումարը կախած
չէ կոորդինատական համակարգի կողմնորոշումից և որոշվում է թենզո-
րի երկրորդ ինվարիանտով:

Երրորդ ինվարիանտը սահմանվում է որպես $I_3 = \det(S_{ik})$: Եթե
 λ_1, λ_2 և λ_3 -ը S_{ik} թենզորի զլխավոր արժեքներն են, իսկ
 a_0, b_0 և c_0 -ն զլխավոր կիսաառանցքները, ապա $\lambda_1 = 1/a_0^2$,
 $\lambda_2 = 1/b_0^2$ և $\lambda_3 = 1/c_0^2$: Հետևաբար՝

$$I_3 = \det(S_{ik}) = \lambda_1 \lambda_2 \lambda_3 = \frac{1}{a_0^2 b_0^2 c_0^2}$$

Հիշելով, որ էլիպսոիդի ծավալը $V = 4/3 \pi a_0 b_0 c_0$, կունենանք
 $I = (4/3 \pi)^2 / V^2$: Այսպիսով, թենզորի երրորդ ինվարիանտը
կապված է թենզորական էլիպսոիդի ծավալի հետ, որը նույնն է բոլոր
կոորդինատական համակարգերում:

31. Բնութագրական մակերևույթները կլինեն, $\omega/1/\sqrt{\lambda}$ շոռա-
վիդով $x_1^2 + x_2^2 + x_3^2 = 1/\lambda$ գնդալորաներ, որոնց կենտրոնները համընկ-
նում են կոորդինատական համակարգի սկզբնակետի հետ: $e/a_i \delta_j x_i x_j = 1$:
Կոորդինատների ձևափոխութեան միջոցով այս հավասարումը կարելի է
բերել $x'_1 x'_2 = 1$ տեսքի, այսինքն այն հիպերբոլական գլանի
մակերևույթի հավասարումն է:

33. ω/T_{ik} թենզորի զլխավոր արժեքները և զլխավոր առանցք-
ները որոշվում են $(T_{ik} - \lambda \delta_{ik}) A_k = 0$ հավասարումների համակարգից:

Ոչ զրոյական լուծում կունենա այս համակարգը, եթե $\det(T_{ik} - \lambda \delta_{ik}) = 0$ կամ, սվյալ դեպքում $(1 - \lambda)(\lambda^2 - 6\lambda - 1) = 0$: Այս բնութագրական հավասարումից կորոշվեն $\lambda^{(1)} = 1$, $\lambda^{(2)} = 3 - \sqrt{10}$, $\lambda^{(3)} = 3 + \sqrt{10}$ զլիսավոր արժեքները : $\lambda^{(1)}$ զլիսավոր արժեքի համար $(T_{ik} - \lambda^{(1)} \delta_{ik}) A_k^{(1)} = 0$ հավասարումների համակարգը կառ $\vec{A}^{(1)} = (A_1^{(1)}, 0, 0)$ լուծում զլիսավոր առանցքի համար, այսինքն նախնական կոորդինատական համակարգի x_1 առանցքը զլիսավոր առանցք է : Մյուս երկու զլիսավոր առանցքների համար կստացվեն

$$\vec{A}^{(2)} = (0, A_2^{(2)}, -\frac{\sqrt{10}-1}{3} A_2^{(2)})$$

$$\vec{A}^{(3)} = (0, A_2^{(3)}, \frac{\sqrt{10}+1}{3} A_2^{(3)})$$

որտեղ $A_1^{(1)}$, $A_2^{(2)}$, $A_2^{(3)}$ մեծութունները կամայական են :

Նկատենք, որ թեւզորի x_1' , x_2' , x_3' զլիսավոր առանցքների համակարգը, այս դեպքում, ստացվում է x_1 , x_2 , x_3 հին համակարգը x_1 առանցքի շուրջը φ անկյունով պտտելու դեպքում, որտեղ $\varphi \sim$ է $\frac{1}{3} \varphi = -(\sqrt{10}-1)/3$ հավասարման լուծումն է :

$$p/ \lambda^{(1)} = (3 - \sqrt{17})/2, \lambda^{(2)} = (3 + \sqrt{17})/2, \lambda^{(3)} = 3$$

$$\vec{A}^{(1)} = (A_1^{(1)}, -\frac{\sqrt{17}-1}{4} A_1^{(1)}, 0), \vec{A}^{(2)} = (A_1^{(2)}, \frac{\sqrt{17}+1}{4} A_1^{(2)}, 0)$$

$$\vec{A}^{(3)} = (0, 0, A_3^{(3)}), \text{ որտեղ } A_1^{(1)}, A_1^{(2)} \text{ և } A_3^{(3)} - \text{ը}$$

կամայական մեծութուններ են :

$$q/ \lambda^{(1)} = 1, \lambda^{(2)} = 1 - \sqrt{3}, \lambda^{(3)} = 1 + \sqrt{3} :$$

$$\vec{A}^{(1)} = (A_1^{(1)}, -A_1^{(1)}, A_1^{(1)}), \vec{A}^{(2)} = (A_1^{(2)}, (2 - \sqrt{3})A_1^{(2)}, (1 - \sqrt{3})A_1^{(2)}),$$

$$\vec{A}^{(3)} = (A_1^{(3)}, (2 + \sqrt{3})A_1^{(3)}, (1 + \sqrt{3})A_1^{(3)}) \text{ որտեղ } A_1^{(1)}, A_1^{(2)} \text{ և } A_1^{(3)} - \text{ը կամայական մեծութուններ են :}$$

34. Դիցուք x_3 առանցքը նյութական կետերի համակարգի համաշփության առանցքն է : Դա նշանակում է, որ m_i զանգված և $x_i^{(i)}$,

$x_2^{(i)}$, $x_3^{(i)}$ կոորդինատներ ունեցող յուրաքանչյուր կետի համար համակարգում կզանվի մեկ այլ կետ, որն ունի նույն $m_j = m_i$ զանգվածը և $x_i^{(j)} = -x_i^{(i)}$, $x_2^{(j)} = -x_2^{(i)}$, $x_3^{(j)} = x_3^{(i)}$ կոորդինատները : Այս դեպքում իներցիայի մոմենտների $I_{pq} = \sum_{i=1}^n m_i (r_i^{(pq)})^2 \delta_{pq} - x_i^{(p)} x_i^{(q)}$ թեւզորի I_{11} բաղադրիչը կլինի $I_{11} = -\sum_{i=1}^n m_i x_i^{(1)} x_i^{(2)}$: Ըստ բոլոր նյութական կետերի տարվող զումարը բաժանենք x_3 առանցքի նկատմամբ համա-

չափ կետերով տարվող երկու զուամարների

$$I_{13} = - \sum_{i=1}^{N/2} m_i x_i^{(i)} x_3^{(i)} - \sum_{j=1}^{N/2} m_j x_1^{(j)} x_3^{(j)}$$

վերն ասվածից երևում է, որ այս երկու զուամարները մեծությամբ հավասար են իրար, իսկ նշանով հակառակ: Հետևաբար, $I_{13} = 0$: ժիշտ նման ձևով կստանանք $I_{23} = 0$ Այսպիսով, նշված համաչափությունն ունեցող նյութական կետերի համակարգի իներցիայի մոմենտների թեքությունը կունենա

$$I = \begin{pmatrix} I_{11} & I_{12} & 0 \\ I_{12} & I_{22} & 0 \\ 0 & 0 & I_{33} \end{pmatrix}$$

տեսքը, որտեղից երևում է, որ x_3 առանցքը նրա գլխավոր առանցքն է:

35. T_{ik} թեքողի հակադարձ T_{ik}^{-1} թեքողը բավարարում է $T_{ij} T_{jk}^{-1} = \delta_{ik}$ առնչություններին: Բազմապատկելով այս հավասարումը T_{mi} տարրի A_{mi} հանրահաշվական լրացումով և օգտվելով հանրահաշվական լրացման $A_{mi} T_{ij} = \delta_{mj} \det \hat{T}$ հայտնի հատկությունից, կստանանք $\delta_{mj} \det \hat{T} T_{jk}^{-1} = A_{mi} \delta_{ik}$, որտեղից կունենանք

$$T_{mk}^{-1} = A_{mk} / \det \hat{T}$$

Այստեղից հետևում է, որ հակադարձ թեքողի զոյություն համար անհրաժեշտ է, որպեսզի $\det \hat{T} \neq 0$: Մասնավորապես, եթե T_{ik} -ն գլխավոր առանցքների բերված համաչափ թեքող է, այսինքն $T_{ik} = \lambda_i \delta_{ik}$ / այստեղ i կրկնվող ինդեքսով զուամարում չկա/, ապա $A_{mk} = \delta_{mk} \frac{\lambda_1 \lambda_2 \lambda_3}{\lambda_m}$ իսկ $\det \hat{T} = \lambda_1 \lambda_2 \lambda_3$, այնպես որ $T_{mk}^{-1} = \frac{1}{\lambda_m} \delta_{mk}$ / m ինդեքսով զուամարում չկա/:

38. Կոորդինատների այլ համակարգի անցնելու ժամանակ ծավալի տարրը ձևափոխվում է $dx'_1 dx'_2 dx'_3 = J dx_1 dx_2 dx_3$, որինքով, որտեղ

$$J = \det \begin{pmatrix} \frac{\partial x'_1}{\partial x_1} & \frac{\partial x'_1}{\partial x_2} & \frac{\partial x'_1}{\partial x_3} \\ \frac{\partial x'_2}{\partial x_1} & \frac{\partial x'_2}{\partial x_2} & \frac{\partial x'_2}{\partial x_3} \\ \frac{\partial x'_3}{\partial x_1} & \frac{\partial x'_3}{\partial x_2} & \frac{\partial x'_3}{\partial x_3} \end{pmatrix}$$

ձևափոխության Յակոբիանն է: Կոորդինատների $x'_i = \alpha_{ik} x_k$ ձևավորությունից $J = \det \hat{\alpha}$: Այսպիսով՝

$$V' = \iiint dx'_1 dx'_2 dx'_3 = J \iiint dx_1 dx_2 dx_3 = \det \hat{\alpha} V$$

Համաձայն 11 խնդրի արդյունքների $\det \hat{\alpha} = +1$ պառլյանների մե-
 փոխութան ժամանակ և $\det \hat{\alpha} = -1$ կոորդինատական երեք առանցք-
 ների միաժամանակյա արտացոլման ժամանակ, իսկ դա նշանակում է, որ
 V մեծութունը զրո կարգի փակդոթենազոր է, կամ ուղղակի, փակդո-
 սկալյար:

39. $T'_{ik} = \hat{\alpha}_{im} \hat{\alpha}_{kn} \det \hat{\alpha} T_{mn}$, այսինքն $\{T'_{ik}\}$ Գ-
 մախումբը երկրորդ կարգի փակդոթենազոր է:

43. Խնդրում նշված համաչափության հասկությունից հետևում
 է, որ $T'_{ijk} = T_{jik} = -T'_{jki} = -T_{kji} = T_{kij} = T_{ikj} = -T'_{ijk}$ այսինքն
 $T'_{ijk} = 0$:

44. Նկատելով, որ $x_i x_j x_k$ արտադրյալը համաչափ է i, j, k
 ինդեքսների կամայական սեղափոխության նկատմամբ և $T'_{ijk} x_i x_j x_k = 0$
 առնչության մեջ միասեսակ $x_i x_j x_k$ անդամներ պարունակող զումա-
 բեւիներից ընդհանուր հանելով այն, կունենանք

$$(T'_{jik} + T_{ijk} + T_{kij} + T_{jki} + T_{kij} + T_{kji}) x_i x_j x_k = 0:$$

Քանի որ T'_{ijk} -ն համաչափ է առաջին երկու ինդեքսների նկատմամբ,
 ապա

$$(T_{ijk} + T_{jki} + T_{kij}) x_i x_j x_k = 0:$$

Հաշվի առնելով $\{x_i\}$ վեկտորի կամայական լինելը, կստանանք

$$T_{ijk} + T_{jki} + T_{kij} = 0$$

46. Այն, որ \hat{E}_{ijk} -ն երրորդ կարգի փակդոթենազոր է, հետևում
 է, օրինակ, երկու վեկտորների վեկտորական արտադրյալի հետևյալ ներ-
 կայացումից $(\vec{a} \times \vec{b})_i = \hat{E}_{ijk} a_j b_k$: Իրոք, եթե \vec{a} -ն և \vec{b} -ն
 վեկտորներ են, $\vec{a} \times \vec{b}$ -ն կլինի փակդոՎեկտոր, իսկ \hat{E}_{ijk} -ն երրորդ
 կարգի փակդոթենազոր:

Այժմ ցույց տանք, որ \hat{E}_{ijk} -ն բոլոր դեկարտյան կոորդինատա-
 կան համակարգերում ունի նույն բաղադրիչները: \hat{E}_{ijk} մեծութուն-
 ները մեափոխվում են $\hat{E}'_{ijk} = \alpha_{ip} \alpha_{jq} \alpha_{kr} \hat{E}_{pqr}$ օրենքով, որտեղից կու-
 ենենանք $\hat{E}'_{123} = \alpha_{1p} \alpha_{2q} \alpha_{3r} \hat{E}_{pqr} = \det \hat{\alpha} / \text{տես 17 խնդրի լուծումը} /$ Քանի
 որ պառլյաի մեափոխությունների ժամանակ $\det \hat{\alpha} = +1$ / տես
 11 խնդրի լուծումը /, ուստի կունենանք

$$\mathcal{E}'_{123} = \mathcal{E}'_{231} = \mathcal{E}'_{312} = -\mathcal{E}'_{132} = -\mathcal{E}'_{321} = -\mathcal{E}'_{213} = 1$$

Այսպիսով, \mathcal{E}'_{ijk} բաղադրիչները համընկնում են \mathcal{E}_{ijk} բաղադրիչներին հետ:

47. Երկրորդ կարգի A_{ik} հակահամաչափ թենզորն ունի զրոյից տարբեր 6 բաղադրիչներ, որոնցից միայն երեքն են իրարից անկախ / $A_{ik} = -A_{ki}$ պայմանի շնորհիվ/: $a_1 = A_{23}$, $a_2 = A_{31}$, $a_3 = A_{12}$ երեք մեծությունների համախումբը կարելի է ներկայացնել Լեի-Չիվիտի սիմվոլի օգնությամբ՝ $a_i = 1/2 \mathcal{E}_{ijk} A_{jk}$: Քանի որ A_{jk} -ն երկրորդ կարգի թենզոր է, իսկ \mathcal{E}_{ijk} -ն երրորդ կարգի փակղոթենզոր, ապա a_i -ն կլինի փակղոթվեկտոր կամ աքսիալ վեկտոր: Այսպիսով A_{ik} համաչափ թենզորը համարժեք է աքսիալ վեկտորի: a_i -ն կոչվում է A_{ik} թենզորի դուալ վեկտոր:

50. ա/ $a^2 (\vec{\beta} \cdot \vec{c}) + (\vec{a} \cdot \vec{\beta})(\vec{a} \cdot \vec{c})$,

բ/ $[(\vec{a} \times \vec{\beta}) \times \vec{c}][(\vec{a}' \times \vec{\beta}') \times \vec{c}']$:

52. ա/ Քանի որ խնդրի պայմանի համաձայն վեկտորի բաղադրիչները բոլոր կոորդինատական համակարգերում պետք է նույնը լինեն, ապա կամայական պտույտի ժամանակ $A'_i = A_i$, այսինքն $A'_x = A_x$, $A'_y = A_y$, $A'_z = A_z$: կոորդինատական համակարգը Σ առանցքի շուրջը π անկյունով պտտելու դեպքում կունենանք $A'_x = -A_x$, $A'_y = -A_y$, $A'_z = A_z$, որտեղից կհետևի, որ $A_x = A_y = 0$: նման ձեռով Σ առանցքի շուրջը π անկյունով պտույտ կատարելու դեպքում կունենանք $A_y = A_z = 0$, այսինքն $\vec{A} = 0$: Այսպիսով, միակ վեկտորը, որի բաղադրիչները նույնն են բոլոր կոորդինատական համակարգերում, զրոյական վեկտորն է:

բ/ Երկրորդ կարգի T_{ik} կամայական թենզոր կարելի է ներկայացնել $T = 1/2(T_{ik} + T_{ki}) + 1/2(T_{ik} - T_{ki})$ տեսքով, որտեղ առաջին անդամը համաչափ թենզոր է, իսկ երկրորդը՝ հակահամաչափ: Քանի որ երկրորդ կարգի հակահամաչափ թենզորը համարժեք է փակղոթվեկտորի, իսկ բոլոր կոորդինատական համակարգերում միևնույն բաղադրիչներն ունեցող վեկտորը /փակղոթվեկտորը/ զրոյական վեկտորն է, ապա երկրորդ կարգի միակ հակահամաչափ թենզորը, որի բաղադրիչները նույնն են բոլոր կոորդինատական համակարգերում, կլինի զրոյական թենզորը: Մտնում է գտնել երկրորդ կարգի այնպիսի համաչափ S_{ik} թենզոր, որի բաղադրիչները նույնն են բոլոր կոորդինատական համակարգերում:

Յուրաքանչյուր S_{ik} համաչափ թենզորի համապատասխանում է $S_{ik} x_i x_k = 1$ հավասարումով բնութագրվող մակերևույթ

/թենզորական էլիպսոիդ/։ Թենզորի բաղադրիչները նույնը կլինեն բոլոր կոորդինատական համակարգերում, եթե թենզորական էլիպսոիդը ունենա կենտրոնական համաչափություն կոորդինատական համակարգի պտույտների նկատմամբ։ Դա կարող է տեղի ունենալ միայն այն դեպքում, եթե էլիպսոիդը իրենից ներկայացնի սփերա, այսինքն $x_1^2 + x_2^2 + x_3^2 = \lambda^{-1}$ Այս հավասարումը ներկայացնելով $\lambda \delta_{ik} x_i x_k = 1$ տեսքով և համեմատելով թենզորական մակերևույթի հավասարման ընդհանուր տեսքի հետ, կունենանք $S_{ik} = \lambda \delta_{ik}$ ։

զ/ Երրորդ կարգի թենզորի ձևափոխության $T_{ijk}^i = \alpha_{ip} \alpha_{jq} \alpha_{kr} T_{pqr}$ օրենքից օգտվելով կարելի է ցույց տալ, որ բոլոր կոորդինատական համակարգերում միատեսակ բաղադրիչներ ունեցող երրորդ կարգի թենզորը անպայման կլինի լրիվ հակահամաչափ։ Իրոք, կոորդինատական համակարգի Σ առանցքի շուրջը $\pi/2$ անկյունով պտույտի

$$\hat{\alpha} = \begin{pmatrix} 0 & -1 & 0 \\ 1 & 0 & 0 \\ 0 & 0 & 1 \end{pmatrix}$$

մատրիցի դեպքում $T_{ijk} = \alpha_{ip} \alpha_{jq} \alpha_{kr} T_{pqr}$ պայմանը T_{123} բաղադրիչի համար կբերի $T_{123} = \alpha_{1p} \alpha_{2q} \alpha_{3r} T_{pqr} = \alpha_{12} \alpha_{23} \alpha_{31} T_{213} = -T_{213}$ առնչության։ ճիշտ նման ձևով օգտվելով x և y առանցքների շուրջը $\pi/2$ անկյունով պտույտների ձևափոխություններից կարելի է ցույց տալ մյուս ինդեքսների տեղափոխության նկատմամբ T_{ijk} -ի հակահամաչափությունը։ Այսպիսով, բոլոր համակարգերում նույն բաղադրիչներն ունեցող երրորդ կարգի թենզորի համար $T_{123} = -T_{213} = T_{231} = -T_{321} = T_{312} = -T_{132}$ ։ Յուրյց տանք, որ երկու ինդեքսների հավասարության դեպքում T_{ijk} -ն զրո է։ T_{112} բաղադրիչի զրո լինելը ցույց տալու համար օգտվենք Σ առանցքի շուրջը π անկյունով պտույտի ձևափոխությունից, որի համար

$$\hat{\alpha} = \begin{pmatrix} -1 & 0 & 0 \\ 0 & -1 & 0 \\ 0 & 0 & 1 \end{pmatrix}$$

Այս դեպքում $T_{112} = \alpha_{11} \alpha_{11} \alpha_{22} T_{112} = -T_{112} = 0$ ։ նման ձևով կարելի է ապացուցել կրկնվող ինդեքսներ ունեցող մյուս բաղադրիչների զրո լինելը։ Նշանակելով $T_{123} \equiv A$ մեծությունը, կունենանք $T_{ijk} = A \epsilon_{ijk}$, այն ինչ պահանջվում էր ապացուցել։

դ/ Կարելի է ցույց տալ, որ չորրորդ կարգի T_{ijkl} թենզորը, որի բաղադրիչները նույնն են բոլոր կոորդինատական համակարգերում, ունի զրոյից տարբեր միայն այնպիսի բաղադրիչներ, որոնցում չորս ինդեքսները գույգ առ գույգ իրար հավասար են։ Այդ պայմանին բավարարող թենզորները կունենան $\delta_{ik} \delta_{lm}$, $\delta_{il} \delta_{km}$, $\delta_{im} \delta_{kl}$ կառուց -

վածք: Ընդհանուր դեպքում

$$T_{iklm} = A \delta_{ik} \delta_{lm} + B \delta_{il} \delta_{km} + C \delta_{im} \delta_{kl},$$

որտեղ A, B, C - ն կամայական հաստատուններ են:

53. Միջին արժեքի սահմանման համաձայն

$$\bar{n}_i = \frac{1}{4\pi} \int n_i d\Omega, \quad \overline{n_i n_k} = \frac{1}{4\pi} \int n_i n_k d\Omega$$

և այլն: Այս ինտեգրալների անմիջական հաշվարկման փոխարեն այստեղ պետք է օգտվել նշված մեծությունների փոխակերպումային հասկոնթյուններից: Նկատենք, որ \bar{n}_i , $\overline{n_i n_k}$, $\overline{n_i n_k n_l}$, $\overline{n_i n_k n_l n_m}$ մեծությունները համապատասխանաբար առաջին, երկրորդ, երրորդ և չորրորդ կարգի թենզորներ են, որոնք նույնն են բոլոր կոորդինատական համակարգերում:

ա/ Օգտվելով 52ա/ խնդրի արդյունքից, կգրենք $\bar{n}_i = 0$, քանի որ միայն զրոյական վեկտորն է, որ ունի նույն բաղադրիչները բոլոր կոորդինատական համակարգերում:

բ/ $\overline{n_i n_k}$ թենզորը համաչափ թենզոր է, որի բաղադրիչները նույնն են բոլոր համակարգերում, ուրեմն՝ $\overline{n_i n_k} = \lambda \delta_{ik}$: նկատելով, որ $\overline{n_i n_i} = \overline{\hat{n}^2} = 1 = 3\lambda$, վերջնականապես կստանանք $\overline{n_i n_k} = 1/3 \delta_{ik}$:
 գ/ Քանի որ $\overline{n_i n_k n_l}$ մեծությունը երրորդ կարգի համաչափ թենզոր է, որի բաղադրիչները նույնն են բոլոր համակարգերում, իսկ երրորդ կարգի միակ ոչ զրոյական թենզորը, որի բաղադրիչները նույնն են բոլոր համակարգերում \mathcal{E}_{ikl} լրիվ հակահամաչափ թենզորն է, ուստի $\overline{n_i n_k n_l} = 0$:

դ/ Օգտվելով 52 դ/ խնդրի պատասխանից, կգրենք

$$\overline{n_i n_k n_l n_m} = A \delta_{ik} \delta_{lm} + B \delta_{il} \delta_{km} + C \delta_{im} \delta_{kl},$$

որտեղ A, B, C - ն առայժմ անհայտ հաստատուններ են: Քանի որ ծայր կողմը լրիվ համաչափ թենզոր է, ապա այս դեպքում $A=B=C$:
 Ուրեմն՝ $\overline{n_i n_k n_l n_m} = A (\delta_{ik} \delta_{lm} + \delta_{il} \delta_{km} + \delta_{im} \delta_{kl})$: A հաստատունը կորոշենք մեկ մասնավոր դեպքի արդյունքից օգտվելով՝

$$\begin{aligned} \overline{n^2 n^2} &= (\overline{\hat{n}^2})^2 = 1 = A (\delta_{ii} \delta_{ll} + \delta_{il} \delta_{il} + \delta_{il} \delta_{il}) \\ &= A (9 + 3 + 3) = 15 A: \end{aligned}$$

Այսպիսով՝ $\overline{n_i n_k n_l n_m} = 1/15 (\delta_{ik} \delta_{lm} + \delta_{il} \delta_{km} + \delta_{im} \delta_{kl})$:

54. ա/ $1/3 a^2$, բ/ $1/3 \vec{a} \cdot \vec{b}$, գ/ $1/3 \vec{a}$, դ/ $2/3 a^2$,
 ե/ $2/3 \vec{a} \cdot \vec{b}$ գ/ $1/15 [(\vec{a} \cdot \vec{b})(\vec{c} \cdot \vec{d}) + (\vec{a} \cdot \vec{c})(\vec{b} \cdot \vec{d}) + (\vec{a} \cdot \vec{d})(\vec{b} \cdot \vec{c})]$:

55. $\vec{n}^2, \vec{n}'^2, \vec{l}^2, \vec{n} \cdot \vec{n}', (\vec{n} \cdot \vec{l})^2, (\vec{n}' \cdot \vec{l})^2, (\vec{n} \times \vec{n}') \cdot \vec{l},$
 $(\vec{n} \cdot \vec{l})(\vec{n}' \cdot \vec{l});$

56. $\omega / \vec{n} \cdot \vec{l}, \vec{n}' \cdot \vec{l}, \rho / \vec{n}_1 \cdot (\vec{n}_2, \vec{n}_3);$

58. $\vartheta = \operatorname{arctg}(iV) = i \operatorname{arctg}(V);$

Գլուխ 2. ՎԵԿՏՈՐԱԿԱՆ ԱՆՍԼԻՔ

§ 1. Ակալյար դաշտ: Ածանցյալ ըստ ուղղության:

Գրադիենտ

60. $\omega / x^2 + y^2 - z = C$ - պարաբոլոիդների ընտանիք,

$\rho / x + 2y - z = C$ - զուգահեռ հարթությունների ընտանիք,

$q / x^2 + y^2 + z^2 = C^2$ - համակենտրոն գնդաձևների ընտանիք:

61. φ սկալյար ֆունկցիայի ածանցյալ ըստ \vec{l} ուղղության անվանում են $\partial\varphi/\partial l = \vec{l}/l \operatorname{grad}\varphi$: Այս խնդրի դեպքում $\vec{l} = \vec{M}_0\vec{M}_1 = (1, 4, 0)$, այնպես որ $\vec{l}/l = \hat{e}_x/1/\sqrt{17} + \hat{e}_y/4/\sqrt{17}$: Հաշվի առնելով, որ

$\operatorname{grad}(xyz) = yz \hat{e}_x + xz \hat{e}_y + xy \hat{e}_z$, $M(1, -1, 1)$ կետում կոուսնանք $\operatorname{grad}(xyz)|_{M_0} = -\hat{e}_x + \hat{e}_y - \hat{e}_z$: Այսպիսով՝

$$\frac{\partial\varphi}{\partial l}\Big|_{M_0} = -1/\sqrt{17} + 4/\sqrt{17} = 3/\sqrt{17}$$

$\partial\varphi/\partial l|_{M_0}$ ածանցյալի դրական լինելուց հետևում է, որ $\vec{M}_0\vec{M}_1$ ուղղությամբ $\varphi = xyz$ սկալյար դաշտը աճում է:

62. $\partial\varphi/\partial z = \vec{z}/z \operatorname{grad} \sin z = \vec{z}/z (\sin z)' \operatorname{grad} z = \cos z$:

63. Օգտվելով այն ֆակտամանքից, որ սկալյար դաշտի գրադիենտը միշտ ուղղված է սվյալ դաշտի մակարդակի մակերեւույթին ուղղահայաց և ունի այդ դաշտի սեման ուղղությունը, կգրենք:

$$\hat{n} = \operatorname{grad}\varphi / |\operatorname{grad}\varphi| = (2x \hat{e}_x + 2y \hat{e}_y - \hat{e}_z) / \sqrt{4x^2 + 4y^2 + 1}:$$

65. $\operatorname{grad}(\vec{l} \cdot \vec{z}) = \vec{l}$, $(\vec{l} \cdot \vec{\nabla}) \vec{z} = \vec{l}$:

67. $\operatorname{grad}(1/\rho) = -\vec{\rho}/\rho^3 = -(x \hat{e}_x + y \hat{e}_y) / (x^2 + y^2)^{3/2}$

69. $\operatorname{grad}\varphi(\vec{z}) = \vec{z}/z \varphi'(z)$,

$$(\vec{l} \cdot \vec{\nabla}) \varphi(z) \vec{z} = \vec{l} \varphi(z) + \frac{\vec{z}(\vec{l} \cdot \vec{z})}{z} \varphi'(z):$$

$$70. \operatorname{grad}(\vec{A}(\vec{r}) \cdot \vec{r}) = \vec{A} + \vec{r}/r (\vec{r} \cdot \vec{A}'),$$

$$\operatorname{grad}(\vec{A}(\vec{r}) \cdot \vec{B}(\vec{r})) = \vec{r}/r (\vec{A}' \cdot \vec{B} + \vec{A} \cdot \vec{B}'),$$

$$(\vec{\ell} \cdot \vec{v}) \varphi(\vec{r}) \vec{A}(\vec{r}) = (\vec{\ell} \cdot \vec{r})/r (\varphi' \vec{A} + \varphi \vec{A}')$$

$$71. \operatorname{grad} \frac{\vec{P} \cdot \vec{r}}{r^3} = -\frac{P}{r^3} (2 \hat{e}_z \cos \vartheta + \hat{e}_\vartheta \sin \vartheta):$$

$$72. y = -x + 2\pi n, \text{ որտեղ } n = 0, \pm 1, \pm 2 \pm \dots$$

§ 2. Վեկտորական դաշտ

2.1. Վեկտորական զտեր: Հոսք: Դիվերգենցիա

73. \vec{A} վեկտորական դաշտի վեկտորական զտերի դիվերգենցիալ հավասարումներն ունեն

$$\frac{dx}{A_x} = \frac{dy}{A_y} = \frac{dz}{A_z}$$

տեսքը, որտեղից հետևում է, որ տեղի ունի $d\vec{r} = \vec{A} dt$ անշրջվող-
նը: Այս խողովի դեպքում $d\vec{r} = (\vec{\omega} \times \vec{r}) dt$: Վերջին հավասարման
երկու կողմերը բազմապատկելով սկալյար ձևով $\vec{\omega}$ վեկտորով և օգ-
տագործելով խառը արտադրյալի հատկությունը, կունենանք

$$\vec{\omega} \cdot d\vec{r} = \vec{\omega} \cdot (\vec{\omega} \times \vec{r}) dt = \vec{r} \cdot (\vec{\omega} \times \vec{\omega}) dt = 0:$$

Նկատի ունենալով, որ $\vec{\omega} = \text{const.}$, կստանանք $\vec{\omega} \cdot \vec{r} = \text{const.}$: Նման ձևով
բազմապատկելով նախնական հավասարման երկու կողմերը սկալյար ձևով
 \vec{r} վեկտորով, կունենանք $\vec{r} \cdot \vec{r} = \text{const.}$:

Այսպիսով, $\vec{\omega} \cdot \vec{r} = \text{const.}$ հարթությունների և $r^2 = \text{const.}$ գնդաձևերի
համան զտերը իրենցից կներկայացնեն $\vec{v} = \vec{\omega} \times \vec{r}$ վեկտորական
դաշտի վեկտորական զտերը: $\operatorname{div} \vec{v} = 0$:

$$74. \text{ա/ } x = C_1, y = C_2, z = C_3$$

$$\text{բ/ } \left. \begin{aligned} \frac{x}{q_1} &= \frac{y}{q_2} + C_3 \\ \frac{x}{q_1} &= \frac{z}{q_3} + C_4 \end{aligned} \right\}:$$

Այստեղ C_1, C_2, C_3, C_4 -ը կամայական հաստատուններ են:

$$75. 2:$$

$$76. \left. \begin{aligned} x^2 + y^2 &= C_1 \\ z &= C_2 \end{aligned} \right\}:$$

Այսինքն, վեկտորական զճերը Σ առանցքին ուղղահայաց հոր -
թուլթյունների մեջ ընկած շրջանագծեր են, որոնց կենտրոնները գտնու-
վում են այդ առանցքի վրա:

$$77. \operatorname{div} \vec{z} = 3, \quad \operatorname{div}(\varphi(z) \vec{z}) = 3\varphi + z\varphi',$$

$$\operatorname{div}(\varphi(z) \vec{A}(z)) = \frac{\varphi'}{z}(\vec{z} \cdot \vec{A}) + \frac{\varphi}{z}(\vec{z} \cdot \vec{A}')$$

$$78. \varphi(z) \stackrel{!}{=} C/z^3$$

$$79. \operatorname{div}(\vec{a} \cdot \vec{z}) \vec{b} = \vec{a} \cdot \vec{b} \quad \operatorname{div}(\vec{a} \cdot \vec{z}) \vec{z} = 4(\vec{a} \cdot \vec{z}),$$

$$\operatorname{div}(\vec{a} \times \vec{z}) = 0, \quad \operatorname{div}[\varphi(z)(\vec{a} \times \vec{z})] = 0,$$

$$\operatorname{div}[\vec{z} \times (\vec{a} \times \vec{z})] = -2(\vec{a} \cdot \vec{z})$$

82. $x^2 + y^2 - z = 0$ պարաբոլոիդի արտաքին նորմալի միա-
վոր վեկտորը որոշվում է $\vec{n} = (2x \hat{e}_x + 2y \hat{e}_y - \hat{e}_z) / \sqrt{4x^2 + 4y^2 + 1}$
առնչուլթյամբ /տես. 63 խնդրի լուծումը/: $\vec{A} = x \hat{e}_x + y \hat{e}_y + z \hat{e}_z$
վեկտորի հոսքի համար կունենանք

$$\Phi = \int_S \frac{2x^2 + 2y^2 + 3z}{\sqrt{4x^2 + 4y^2 + 1}} dS$$

Օգտագործելով մակերևույթի տարրի համար $dS = \sqrt{1 + \left(\frac{\partial z}{\partial x}\right)^2 + \left(\frac{\partial z}{\partial y}\right)^2} dx dy =$
 $= \sqrt{4x^2 + 4y^2 + 1}$ արտահայտուլթյունը, մակերևույթային ինտեգրալը
կբերենք $\Phi = 5 \int (x^2 + y^2) dx dy$ կրկնակի ինտեգրալի, որտեղ ինտեգրման G
աիրույթը $x^2 + y^2 \leq 4$ շրջանն է:

Քննարային կորդիինատական համակարգում այդ ինտեգրալը կբերվի
 $\Phi = 5 \int_0^{2\pi} d\varphi \int_0^2 r^3 dr$ տեսքի, որտեղից կստանանք $\Phi = 40\pi$

$$83. \Phi = \pi/2$$

$$84. \Phi = 12\pi R^2/5$$

$$85. \Phi = 3V$$

$$86. \Phi = 3/2$$

2.2. Վեկտորական դաշտի զեռային ինտեգրում :
 Երջապտույտ : Ռոտոր

87. $-\pi a^2$:

88. $\pi / (r_2^2 - r_1^2) / 2$, $\rho / \ln r_2 / r_1$, $q / 4\pi (1/r_1^2 - 1/r_2^2)$:

91. Երջապտույտի սահմանման համաձայն

$$C = \oint_L \vec{A} d\vec{z} = \oint_L (-y^2 dx + x^2 dy) :$$

$x^2/a^2 + y^2/b^2 = 1$ էլիպսի պարամետրական հավասարումներն ունեն
 Կեռայն ածրը

$$\left. \begin{aligned} x &= a \cos t \\ y &= b \sin t \end{aligned} \right\} , \quad 0 \leq t < 2\pi ,$$

որտեղից $dx = -a \sin t dt$, $dy = b \cos t dt$: Հաշվի առնելով վե-
 րոհիշյալը , երջապտույտի համար կստանանք

$$C = ab \int_0^{2\pi} (b^2 \sin^2 t + a^2 \cos^2 t) dt = 3/4 \pi ab (a^2 + b^2) :$$

93. Հեղուկի հավասարակշռության $\vec{\nabla} p = \rho \vec{f}$ հավասարման երկու
 կողմերի վրա կիրառենք rot օպերատորը՝

$$\text{rot grad } p = \text{rot } \rho \vec{f}$$

Զանի որ ցանկացած φ սկալյար ֆունկցիայի համար $\text{rot grad } \varphi = 0$,
 ապա կունենանք

$$\text{rot } \rho \vec{f} = \rho \text{rot } \vec{f} + \text{grad } \rho \times \vec{f} = 0 :$$

Բազմապատկելով ստացված հավասարման երկու կողմերը \vec{f} վեկտորով
 սկալյար ձևով և հաշվի առնելով , որ $\vec{f} \cdot (\vec{\nabla} p \times \vec{f}) = 0$, կստանանք
 $\vec{f} \cdot \text{rot } \vec{f} = 0$:

Այսպիսով , հեղուկի հավասարակշռությանը կարող է տեղի ունե-
 նալ միայն այնպիսի \vec{f} ուժադաշտում , որի ուժագծերը ուղղահայաց են
 $\text{rot } \vec{f}$ վեկտորական դաշտի վեկտորական զեռերին :

94. $\vec{\omega}$ անկյունային արագությանը պատկող պինդ մարմնի արագ-
 անկյունների դաշտը որոշվում է $\vec{v} = \vec{\omega} \times \vec{r}$ բաժանուկ : Հաշվի առ-
 նելով , որ այս ինդրում $\vec{\omega} = \text{const.}$, $\text{rot } \vec{v}$ մեծության համար կստա-
 նանք $\text{rot } \vec{v} = \text{rot } (\vec{\omega} \times \vec{r}) = 2\vec{\omega}$:

95. $\vec{\omega} = 1/2 \text{rot } \vec{v} = -z/2 \hat{e}_y$

96. $f(x, z) = xz + x + z + \text{const} :$

98. $\text{rot } \vec{r} = 0$, $\text{rot}(\varphi(r)\vec{r}) = 0$;
99. $\text{rot}(\vec{a} \cdot \vec{r})\vec{b} = \vec{a} \times \vec{b}$, $\text{rot}(\vec{a} \cdot \vec{r})\vec{r} = \vec{a} \times \vec{r}$,
 $\text{rot}(\vec{a} \times \vec{r}) = 2\vec{a}$, $\text{rot} \varphi(r)(\vec{a} \times \vec{r}) = 0$,
 $\text{rot}[\vec{r} \times (\vec{a} \times \vec{r})] = 3(\vec{r} \times \vec{a})$;
100. $\text{rot}[\varphi(r)\vec{A}(r)] = \varphi'(r)(\vec{r} \times \vec{A}) + \varphi(r)(\vec{r} \times \vec{A}')$;
101. $\text{rot} \frac{\vec{p} \times \vec{r}}{r^3} = \frac{p}{r^3}(2\hat{e}_r \cos \vartheta + \hat{e}_\vartheta \sin \vartheta)$;
102. $\text{rot } \vec{A} = -\hat{e}_x - (2x - 1)\hat{e}_y$;
103. $\text{rot } \vec{A} = 0$;

2.3. Դիֆերենցիալ օպերատորների համառոտ
կիրառումներ

108. Օգտվելով 106զ/ խնդրի նույնությունից, $\vec{B} = \vec{A}$ դեպքում կունենանք

$$\text{grad} A^2 = 2\vec{A} \times \text{rot } \vec{A} + 2(\vec{A} \cdot \vec{\nabla})\vec{A}$$

Բանի որ $A^2 = \text{const.}$ դեպքում $\text{grad} A^2 = 0$, ապա

$$(\vec{A} \cdot \vec{\nabla})\vec{A} = -\vec{A} \times \text{rot } \vec{A}:$$

110. Օգտվելով $\text{rot}(\varphi \vec{a}) = \varphi \text{rot } \vec{a} - \vec{a} \times \text{grad} \varphi$ նույնությունից /տես խնդիր 97/, կունենանք

$$\text{rot}(\varphi \text{grad } \psi) = \varphi \text{rot grad } \psi - \text{grad } \psi \times \text{grad } \varphi$$

Բանի որ կամայական ψ սկալյար ֆունկցիայի համար $\text{rot grad } \psi = 0$, ապա $\vec{A} \cdot \text{rot } \vec{A}$ սկալյար արտադրյալի համար կստանանք

$$\vec{A} \cdot \text{rot } \vec{A} = \varphi \text{grad } \psi (\text{grad } \varphi \times \text{grad } \psi) = 0,$$

այսինքն $\vec{A} = \varphi \text{grad } \psi$ վեկտորը օրթոգոնալ է $\text{rot } \vec{A}$ վեկտորին:

2.4. Սոլենոիդային վեկտորական դաշտ:
Վեկտորական պոտենցիալ

113. Օգտագործելով $\vec{\nabla}$ օպերատորի հատկությունները, կունենանք

$$\begin{aligned} \text{div}[\tau(\vec{\omega} \times \vec{r})] &= (\vec{\nabla} \cdot \tau)(\vec{\omega} \times \vec{r}) + \tau \vec{\nabla} \cdot (\vec{\omega} \times \vec{r}) = \\ &= \vec{r} / \tau (\vec{\omega} \times \vec{r}) + \tau \vec{\omega} \cdot (\vec{\nabla} \times \vec{r}) = 0, \end{aligned}$$

այսինքն, $\vec{A} = \tau (\vec{\omega} \times \vec{z})$ դաշտը սուլենոիդային է: Այժմ գտնենք այդ դաշտի վեկտորական պոտենցիալներից որևէ մեկը: Վեկտորական պոտենցիալի սահմանման համաձայն

$$\text{rot } \vec{W} = \tau (\vec{\omega} \times \vec{z}):$$

Եթե կոորդինատական Σ առանցքը ուղղենք $\vec{\omega}$ վեկտորի ուղղությանը, ապա կունենանք

$$\frac{\partial W_y}{\partial x} - \frac{\partial W_x}{\partial y} = 0,$$

$$\frac{\partial W_y}{\partial z} - \frac{\partial W_z}{\partial y} = \tau \omega y,$$

$$\frac{\partial W_x}{\partial z} - \frac{\partial W_z}{\partial x} = \tau \omega x:$$

Քանի որ \vec{W} վեկտորական պոտենցիալը որոշվում է կամայական f սկալյար ֆունկցիայի զրոգի ենթի Δ շտուլթյամբ, ուստի կարելի է ընդունել, որ $W_y = 0$, և այդ դեպքում կունենանք

$$\frac{\partial W_x}{\partial y} = 0, \quad \frac{\partial W_z}{\partial y} = -\tau \omega y, \quad \frac{\partial W_x}{\partial z} - \frac{\partial W_z}{\partial x} = \tau \omega x:$$

Առաջին հավասարումից կունենանք $W_x = \psi_1(x, z)$, իսկ երկրորդից՝

$$\begin{aligned} W &= -\omega \int y \sqrt{x^2 + y^2 + z^2} dy + \psi_2(x, z) = \\ &= \omega \tau^2/3 + \psi_2(x, z): \end{aligned}$$

Այսպիսի տեսք ունեցող W_x և W_z ֆունկցիաները պետք է բավարարեն երրորդ հավասարմանը: Այդ պահանջը կբերի

$$\frac{\partial \psi_1}{\partial z} - \frac{\partial \psi_2}{\partial x} = 0$$

հավասարման: Մասնավորապես, ընդունելով $\psi_1(x, z) = \psi_2(x, z) = 0$, կստանանք վեկտորական պոտենցիալներից մեկը

$$\vec{W} = -\vec{\omega} \tau^2/3$$

$$114. \varphi(\tau) = C/\tau^3, \quad C = \text{const.}:$$

2.5. Պոտենցիալային վեկտորական դաշտ:
Սկալյար պոտենցիալ

119. Համոզվելու համար, որ \vec{A} դաշտը պոտենցիալային է, հաշ-
վենք

$$\begin{aligned} \operatorname{rot} \vec{A} &= \begin{vmatrix} \hat{e}_x & \hat{e}_y & \hat{e}_z \\ \partial/\partial x & \partial/\partial y & \partial/\partial z \\ 3y z + x^2 & 2y^2 + 3x z & z^2 + 3xy \end{vmatrix} = \\ &= \hat{e}_x(3x - 3x) + \hat{e}_y(3y - 3y) + \hat{e}_z(3z - 3z) = 0: \end{aligned}$$

Նշանակում է \vec{A} վեկտորական դաշտը պոտենցիալային է ամ-
բողջ տարածությունում: Օգտվելով սկալյար պոտենցիալի սահմանումից
կգրենք

$$\varphi(M) = \int_{M_0}^M \vec{A} d\vec{z} + \text{const.}:$$

Որպես M_0 կես վերցնելով կոորդինատների սկզբնակետը և ընտ-
րելով նկ. 7-ում պատկերված ինտեգրման նախապրճը, կունենանք

$$\begin{aligned} \varphi(x, y, z) &= \int_0^x A_x(x, 0, 0) dx + \int_0^y A_y(x, y, 0) dy + \int_0^z A_z(x, y, z) dz + \text{const.} = \\ &= \int_0^x x^2 dx + \int_0^y 2y^2 dy + \int_0^z (z^2 + 3xy) dz + \text{const.} = \\ &= 1/3 (x^3 + 2y^3 + z^3) + 3xy z + \text{const.} : \end{aligned}$$

120. Անիշխական հաշվարկով կարելի է ցույց տալ, որ $\operatorname{rot} \vec{F} = 0$
կամայական $\tau \neq 0$ կեսի համար: Այստեղից կհետևի, որ \vec{F} դաշտը պո-
տենցիալային է ամենուրեք, բացառությամբ $\tau = 0$ կեսի: Սկալյար պո-
տենցիալի համար կունենանք

$$\varphi(\vec{r}) = - \int \frac{Gm\vec{r}}{r^3} d\vec{z} = -Gm \int \frac{d\vec{r}}{r^2} = G \frac{m}{r} + \text{const.}:$$

121. $\varphi(\vec{r}) = z \rho^2 \sin \alpha + \text{const.}$

124. ա/ $\varphi = \tau + \text{const.}$, բ/ $\varphi = b_1 \tau + \text{const.}$, գ/ $\varphi = 1/3 \tau^3 + \text{const.}$:

2.6. Վեկտորական անալիզի ինտեգրալ
թեորեմները

126. $\pi R^4/2$

127. $\iiint \text{grad} \varphi \text{rot} \vec{A} \, dV = \oint \vec{A} \times \text{grad} \varphi \, dS = \oint \varphi \text{rot} \vec{A} \, dS$

128. Բազմաթափանց աված ինտեգրալը կամայական \vec{c} հաստատուն վեկտորով և ռադիկնք վեկտորական հաշվի հայտնի ճանչումթյուններին

$$\begin{aligned} \vec{c} \oint \vec{r} (\vec{a} \cdot \vec{n}) \, dS &= \oint (\vec{c} \cdot \vec{r}) \vec{a} \, dS = \iiint \text{div} [(\vec{c} \cdot \vec{r}) \vec{a}] \, dV = \\ &= \vec{a} \cdot \vec{c} \iiint dV = \vec{a} \cdot \vec{c} V: \end{aligned}$$

Քանի որ \vec{c} -ն կամայական վեկտոր է, ապա

$$\oint \vec{r} (\vec{a} \cdot \vec{n}) \, dS = \vec{a} V$$

ժիշտ նման ձևով կստանանք

$$\oint (\vec{a} \cdot \vec{r}) \vec{n} \, dS = \vec{a} V:$$

129. ա/ $\oint \vec{n} \varphi \, dS = \iiint \text{grad} \varphi \, dV,$

բ/ $\oint (\vec{n} \times \vec{a}) \, dS = \iiint \text{rot} \vec{a} \, dV,$

գ/ $\oint (\vec{n} \cdot \vec{b}) \vec{a} \, dS = \iiint (\vec{b} \cdot \vec{\nabla}) \vec{a} \, dV,$

134. $\oint \varphi \, d\vec{r} = \oint (d\vec{S} \times \text{grad} \varphi):$

135. $\oint \varphi \, d\psi = \oint (\text{grad} \varphi \times \text{grad} \psi) \, d\vec{S}:$

2.7. Լապլասի օպերատորը: Լապլասյան դաշտեր

141. ա/ Հարմոնիկ է, բ/ հարմոնիկ չէ, գ/ հարմոնիկ է:

142. ա/ $C_1 + C_2 \tau$, բ/ $C_1 + C_2 \ln tg \vartheta/2$, գ/ $C_1 + C_2 \alpha$,
որտեղ $C_1 = \text{const.}$, $C_2 = \text{const.}$:

143. ա/ $C_1 + C_2 \ln \rho$, բ/ $C_1 + C_2 \alpha$, գ/ $C_1 + C_2 z$, որտեղ
 $C_1 = \text{const.}$, $C_2 = \text{const.}$:

144. $\varphi = C_1 x + C_2$, որտեղ $C_1 = \text{const.}$, $C_2 = \text{const.}$:

145.

$$\varphi(\tau) = \begin{cases} \frac{\tau^{n+1}}{(n+1)(n+2)} + \frac{C_1}{\tau} + C_2, & n \neq 1, n \neq 2 (\tau \neq 0) \\ \ln \tau + \frac{C_1}{\tau} + C_2, & n = -1 (\tau \neq 0) \\ -\frac{\ln \tau}{\tau} + \frac{C_1}{\tau} + C_2, & n = -2 (\tau \neq 0) \end{cases}$$

Հ Ա Վ Ե Լ Վ Ա Ս

Տիրակի δ - ֆունկցիան

147. $q/$ Ամսմանման համաձայն $\delta(x^2 - a^2) = \begin{cases} \infty, & \text{եթե } x \neq \pm a \\ 0, & \text{եթե } x = \pm a \end{cases}$

Այնպես որ $\delta(x^2 - a^2) = A \delta(x+a) + B \delta(x-a)$ և հետևաբար

$$\int_0^{\infty} \delta(x^2 - a^2) dx = \int_0^{\infty} [A \delta(x+a) + B \delta(x-a)] dx = \begin{cases} B, & \text{եթե } a > 0 \\ A, & \text{եթե } a < 0 \end{cases}$$

Մյուս կողմից $\int_0^{\infty} \delta(x^2 - a^2) dx = \int_0^{\infty} \delta(y - a^2) \frac{dy}{2\sqrt{y}} = \frac{1}{2|a|}$, որտեղից երևում է, որ $A = B = \frac{1}{2|a|}$:

Այսպիսով $\delta(x^2 - a^2) = \frac{1}{2|a|} [\delta(x+a) + \delta(x-a)]$

148. δ - ֆունկցիայի ամսմանման համաձայն՝

$$\delta(f(x)) = \begin{cases} \infty, & \text{եթե } f(x) = 0 \\ 0, & \text{եթե } f(x) \neq 0 \end{cases}$$

եթե x_1, x_2, \dots, x_n -ը $f(x) = 0$ հավասարման արմատներն են, ապա

$$\delta(f(x)) = \begin{cases} \infty, & \text{եթե } x = x_1, x_2, \dots, x_n \\ 0, & \text{եթե } x = x_j, x_2, \dots, x_n \end{cases}$$

Այստեղից հետևում է, որ $\delta(f(x)) = \sum_{k=1}^n \alpha_k \delta(x - x_k)$ մտնում է որոշել α_k գործակիցները: Օգտվենք δ - ֆունկցիայի նորմավորման պայմանից՝

$$\int_{x_m - \varepsilon}^{x_m + \varepsilon} \delta(x - x_k) dx = \delta_{mk},$$

որտեղ δ_{mk} -ն Կրոնեկերի սիմվոլն է, իսկ ε անվերջ փոքր մեծությունն ընտրված է այնպես, որպեսզի $[x_m - \varepsilon; x_m + \varepsilon]$ տիրույթ

թի մեջ ընկնի միայն մեկ արմատ (x_m) :

Մյուս կողմից $\alpha = \int_{x_m - \varepsilon}^{x_m + \varepsilon} \delta(f(x)) dx = \int_{x_m - \varepsilon}^{x_m + \varepsilon} \delta(f(x)) \frac{f'(x) dx}{f'(x)} =$

$$= \int_{f(x_m - \varepsilon)}^{f(x_m + \varepsilon)} \delta(y) \frac{dy}{y'} = \text{Sgn}\{f'(x_m)\} / f'(x_m) = 1 / |f'(x_m)| :$$

Հաշվի առնելով վերջինս, կուեննանք

$$\delta(f(x)) = \sum_{x=x_k}^n \delta(x-x_k) / |f'(x_k)| :$$

153. Գնդային կոորդինատական համակարգում՝

$$\delta(\vec{r}-\vec{r}_0) = \frac{1}{r^2 \sin \vartheta} \delta(r-r_0) \delta(\vartheta-\vartheta_0) \delta(\alpha-\alpha_0) :$$

Գլանային կոորդինատական համակարգում՝

$$\delta(\vec{r}-\vec{r}_0) = \frac{1}{\rho} \delta(\rho-\rho_0) \delta(\alpha-\alpha_0) \delta(z-z_0) :$$

154. Օգտվելով Լապլասի ֆունկցիայի շտապիչային մասի բացահայտման սեպրից, կուեննանք

$$\Delta(1/r) = \frac{1}{r^2} \frac{d}{dr} \left(r^2 \frac{d}{dr} \right) \frac{1}{r} = 0 \quad (r \neq 0) :$$

Հաշվենք $\Delta(1/r)$ ֆունկցիայի ինտեգրալը R շտապիչով գնդի ծավալով

$$\begin{aligned} \int_V \Delta(1/r) dV &= \int_V \operatorname{div} \operatorname{grad}(1/r) dV = \oint_{S_R} \operatorname{grad}(1/r) d\vec{S} = \\ &= - \oint_{S_R} \vec{r} / r^3 d\vec{S} = \int d\Omega = -4\pi : \end{aligned}$$

Սկսելով t , որ $\Delta(1/r) = -4\pi \delta(\vec{r})$:

155. Օգտվել նախորդ խնդրի արդյունքից և հաշվի առնել դելտա ֆունկցիայի $/2.5/$ հավուսթյունը:

Գ Ր Ա Կ Ա Ն Ո Ւ Յ Ց Ո Ւ Ն

1. Акивис М.А., Гольдберг В.В. Тензорное исчисление, Наука, 1972.
2. Батыгин В.В., Толтыгин И.Н.: Сборник задач по электродинамике, Наука, 1970.
3. Борисенко А.И., Тарапов И.Е. Векторный анализ и начала тензорного исчисления, VIII, 1966.
4. Будақ Б.М., Фомин С.В. Кратные интегралы и ряды, Наука, 1967.
5. Гольдфайн И.А., Векторный анализ и теория поля, Наука, 1968.
6. Ефимов А.В., Золотарев Д.Г., Терпигорева В.М. Математический анализ (специальные разделы), ч. II, VIII, 1980.
7. Краснов М.Л., Киселев И.Е., Макаренко Г.И. Векторный анализ, Наука, 1978.
8. Несис Е.И. Методы математической физики, Просвещение, 1977.
9. Очан Д.С. Сборник задач по методам математической физики, Наука, 1970.

Բ Ո Վ Ա Ն Դ Ա Կ Ո Ւ Յ Ց Ո Ւ Ն

Գլուխ 1. ԹԵՆՁՈՐԱԿԱՆ ՀԱՇԻՎ	3
§ 1. Հիմնական տեղեկություններ վեկտորական հանրահաշվից: Կոորդինատական համակարգեր: Օրթոգոնալ ձևափոխություններ	3
§ 2. Թենզորի հասկացությունը և նրա բաղադրիչների ձևափոխության օրենքը	11
Գլուխ 2. ՎԵԿՏՈՐԱԿԱՆ ԱՆԱԼԻԶ	21
§ 1. Ակալյար դաշտ: Ածանցյալ ըստ ուղղություն: Գրադիենտ ...	21
§ 2. Վեկտորական դաշտ	24
2.1. Վեկտորական գծեր: Հոսք: Դիվերգենցիա	24
2.2. Վեկտորական դաշտի գծային ինտեգրալ: Երջաստույտ: Ռոտոր	27
2.3. Դիֆերենցիալ օպերատորների համատեղ կիրառություններ	31
2.4. Աղբնոդային վեկտորական դաշտ: Վեկտորական պոտենցիալ	32
2.5. Գոտենցիալային վեկտորական դաշտ: Ակալյար պոտենցիալ	33
2.6. Վեկտորական անալիզի ինտեգրալ թեորեմները	36
2.7. Լապլասի օպերատորը: Լապլասյան դաշտեր	39
Հավելված. ԴԻՐԱԿԻ Ծ - ՖՈՒՐԿԵԻԱՆ	42
ԳԱՏԱՍԱՆՆԵՐ ԵՎ ԼՈՒԾՈՒՄՆԵՐ	46
ԳՐԱԿԱՆՈՒԹՅՈՒՆ	68